
Table des matières

Introduction generale 1 1 1 1 1 1 1 1 1 1 1 1 1 1 1 1 1 1 1
Chapitre I : Structure des alliages (CoPt, FePt) et théorie de la dynamique vibrationnelle
I.1. Les structures de CoPt et FePtí í í í í í í í í í í í í í í í í í í
I.2.1. Approche classique de la dynamique vibrationnelleí í í í í í í í í í í í í í í í í í
I.2.2. Approche quantique de la dynamique vibrationnelleí í í í í í í í í í í í í í í í í í
Chapitre II: Méthodes ab initio
II.1. Les différentes approximations et leurs limites, avant la DFT í í í í í í í í í í í í í12
II.1.1. Equation de Schrödinger íí í í í í í í í í í í í í í í í í
II.1.2.Approximation de Born-Oppenheimer í íí í í í í í í í í í í í í í í í
II.1.3. Approximation de Hartreeí í í í í í í í í í í í í í í í í í í
II.1.4. Approximation de Hartree-Fockí í í í í í í í í í í í í í í í í í í
II.1.5.Modèle de Thomas-Fermií í í í í í í í í í í í í í í í í í í
II.2. La théorie de la fonctionnelle de la densitéí í í í í í í í í í í í í í í í í í í
II.2.1. Les deux théorèmes de Hohenberg et Kohní í í í í í í í í í í í í í í í í í í
II.2.2. Approche de Kohn-shamí í í í í í í í í í í í í í í í í í í
II.2.3. Equation de kohn-shamí í í í í í í í í í í í í í í í í í í
II.2.4.Løapproximation LDAíííííííííííííííííííííííííííííííííííí

Click Here to upgrade to
Unlimited Pages and Expanded Features

Wí í í í í í í í í í í í í í í í í í 24 Chapitre III: Résultats et discussions III.1.2. Evolution de løénergie totale du système FePt en fonction de løénergie de III.1.2. Evolution de léenergie totale du système FePt L en fonction du nombre de III.2. courbes de dispersion de phonon des alliages FePt et CoPt en structure L1₀í í í í .34 III.2.1. Discutions et comparaison des spectres de phonons obtenus par le calcul ab-initio

ons de kohn-shamí í í í í í í í í í í í í ..23

Liste des figures

I. 1: Diagramme de phase CoPtí í í í í í í í í í í í í í í í í í í
I. 2: Diagramme de phases de løalliage FePtí í í í í í í í í í í í í í í í í í í
I. 3: Les trois variantes de la phase L1 ₀ 5
I.4: Maille parente tétragonale à faces centrées (noir) et maille primitive quadratique (bleu)í í í í í í í í í í í í í í í í í í í
III. 1 : La structure 21_{2} représentant les deux alliages FePt et CoPtí í í í í í í 27
III. 2 : Variation de løénergie totale de la structure $L1_0$ de løalliage FePt en fonction de a_t pour les différentes valeurs de c/aí í í í í í í í í í í í í í í í í í í
III.3 : Evolution de løénergie totale de la structure tétragonale de løalliage FePt En fonction du volume pour différents rapport c/aí í í í í í í í í í í í í í í í í í í
III. 4: Evolution de lænergie totale du système FePt $\boxed{2}1_{\boxed{2}}$ en fonction de lænergie de coupureí í í í í í í í í í í í í í í í í í í
III. 5: Evolution de lænergie totale du système FePt $\boxed{2}1_{\boxed{2}}$ en fonction du nombre de points kí í í í í í í í í í í í í í í í í í í
III. 6: Courbes de dispersion dans la direction [001] pour løalliage FePtí íí í í í í35
III. 7: Courbes de dispersion dans la direction [101] pour løalliage FePtí í í íí í í35
III. 8: Courbes de dispersion dans la direction [111] pour løalliage FePtí í íí í í36
III. 9: Courbes de dispersion dans la direction [100] pour løalliage FePtí íí í í íí 36
III. 10: Courbes de dispersion dans la direction [110] pour løalliage FePtíí í íí í37
III. 11. Courbes de dispersion dans la direction [001] pour løalliage CoPtí í í í íí37
III. 12: Courbes de dispersion dans la direction [111] pour løalliage CoPtí í í í í íí 38

	.: F4047 1 111 C D./	,	,	,	,	,	20
Click Here to upgrade to	rection [101] pour løalliage CoPtí	ĺ	ĺ	ĺ	ĺ	Í	38
Inlimited Pages and Expanded Feat							

III. 14: Courbes de dispersion dans la direction [100] pour løalliage CoPtí í ...í í í í 39

III. 15: Courbes de dispersion dans la direction [110] pour løalliage CoPtí í í í í í ...í í 39



Chapitre III Résultats et discussions



Chapitre I

Structures des alliages (FePt, CoPt) et théorie des vibrations

Click Here to upgrade to Unlimited Pages and Expanded Features

Løalliage est un compose de metal avec un/ou plusieurs autres éléments chimiques, du fait de cette composition, løalliage présente de nouvelles propriétés et caractéristiques, ce qui lui donne la possibilité de répondre à certaines exigences technologiques, ainsi quøaux besoins industriels, døoù la place très importante quøil occupe dans le domaine de la physique des matériaux. En effet, løintérêt que portent les alliages CoPt et FePt est dû au fait que leurs structures $\boxed{21}$ possèdent la plus fortes constantes døanisotropies connues à ce jour (en dehors des alliages à basse de terre rare)¹, et aussi à leur excellente résistance à løoxydation et à la corrosion avec une très haute densité døenregistrement.

I.1. Les structures de CoPt et FePt

La température est parmi les paramètres déterminants de la structure atomique des alliages intermétalliques, en effet, à haute température les systèmes CoPt et FePt présentent une solution solide, quant à basse température nous aurons trois phases døalliages ordonnés comme le montre les Figure I.1, et Figure I.2.

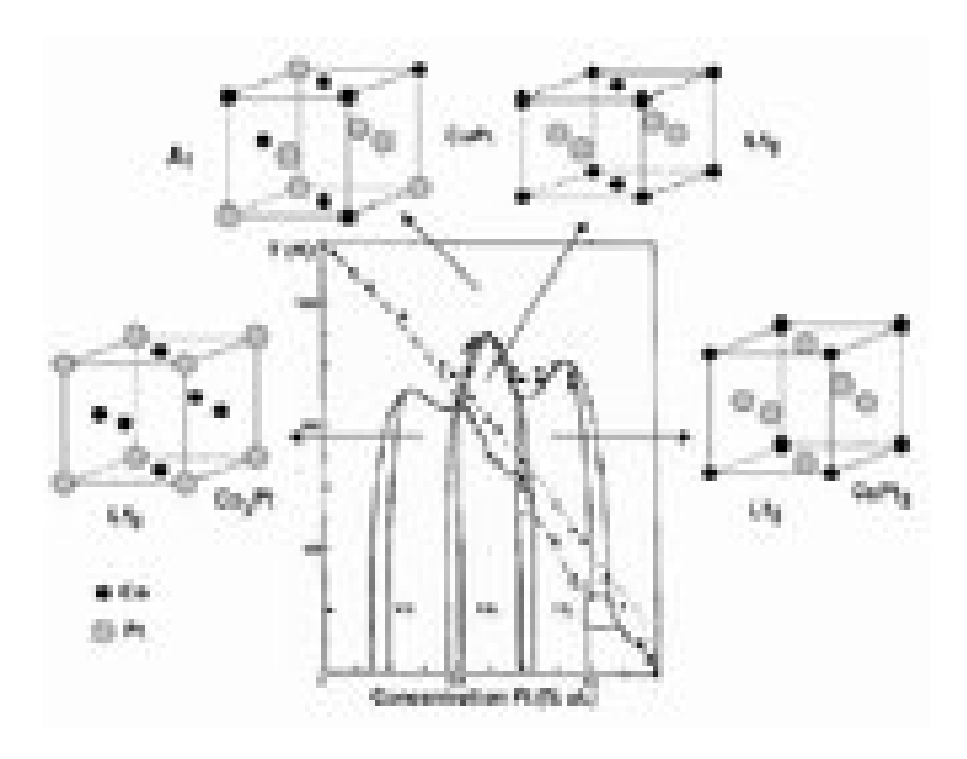


Figure. I.1 : Diagramme de phase CoPt ²

¹ Y. DAHMANE, Thèse de doctorat, Université Josèphe Forier Grenoble, 2012, p. 17.

² J. M. Sanchez, J. L. Moran-Lopez, C. Leroux, et M. C. Cadeville, J. Phys: Condens. Maller 1, 491 (1989).

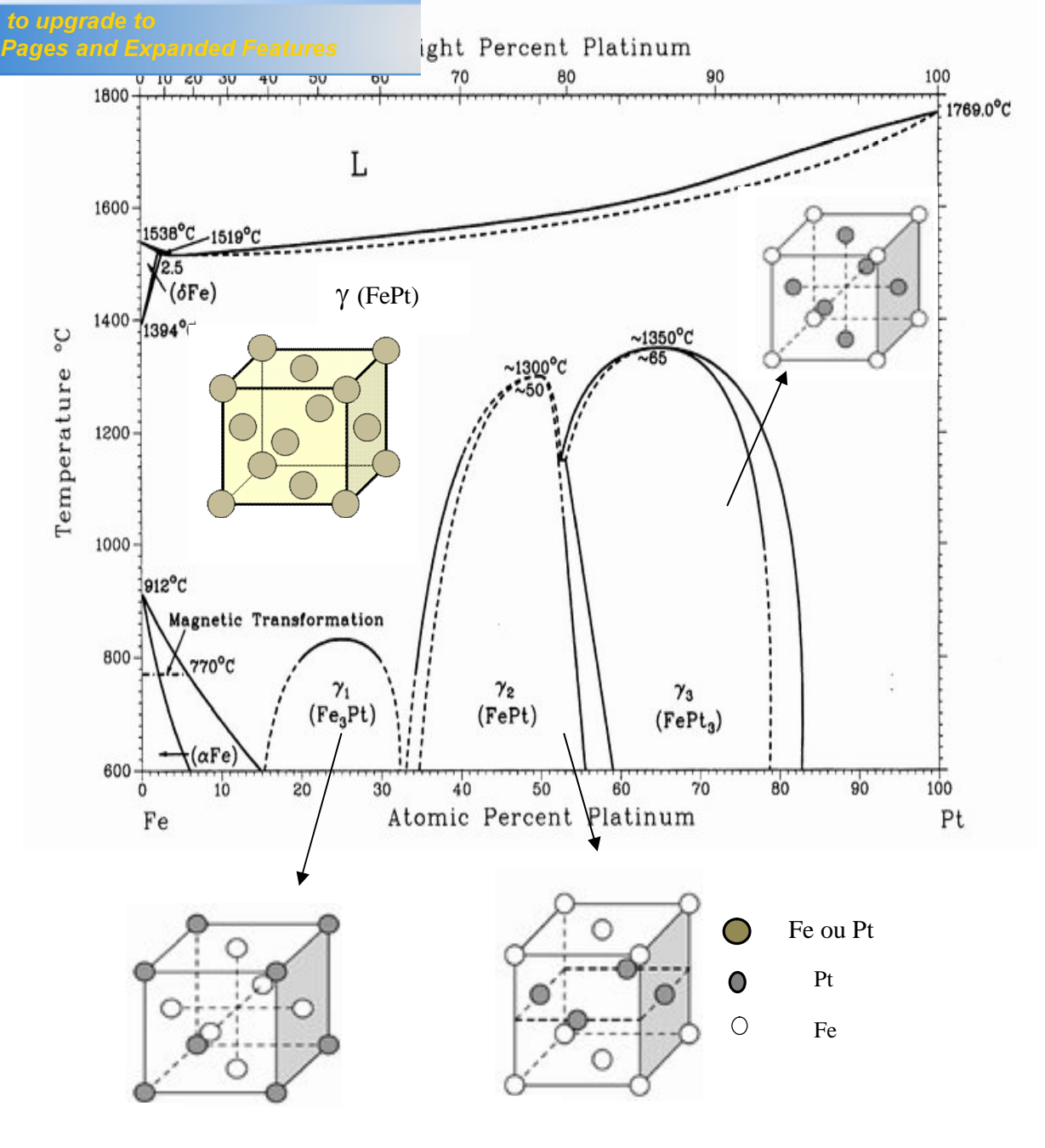


Figure. I.2 : Diagramme de phases de l'alliage FePt^{3, 4}

³ T. Massalsky (Eds.), Binary Alloy Phase Diagrams, 2nd Edition, ASM International, Materials Park, OH, 1996.

⁴ P. Fredriksson, Doctoral disserta@on, Royal Ins@tute of Technologie, Stockholm (2003).

Fe22,2222): les atomes minoritaires occupent les ent les sites $\frac{1}{2}$ $\frac{1}{2}$ 0, $\frac{1}{2}$ 0 $\frac{1}{2}$, 0 $\frac{1}{2}$ $\frac{1}{2}$.

La phase ordonnée L1_□: qui est une alternance de plans atomique de Fe(ou Co) pur et de Pt

pur suivant un des trois axes quadratique, comme le montre la figure suivante

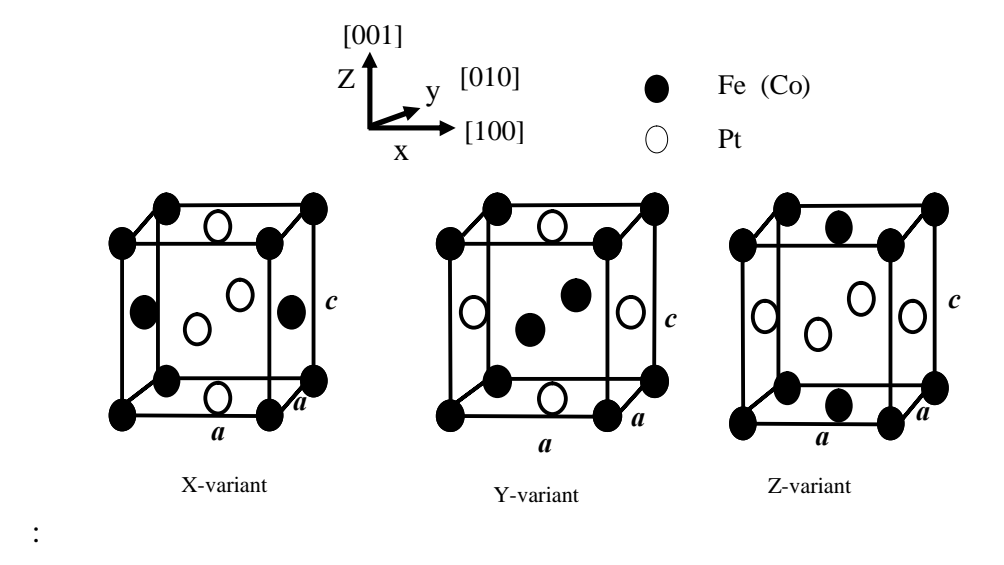


Figure. I.3: Les trois variantes de la phase L1₀

Grâce à son alternance de plan, la phase $L1_0$ est très prometteuse, car elle présente une forte anisotropie magnétique.

Dans la suite de notre projet, les calculs se feront dans la phase L1₀ suivant la variante Z.

Du point de vue cristallographique nos deux alliages se présentent sous une structure quadratique (figure I.4) a faces centrées $a=3.8\text{\AA},\ c=3.7\text{\AA}$ pour le $\text{Co}_{50}\text{Pt}_{50}$ et $a=3.85\text{\AA},\ c=3.71\text{Å}$ pour le $\text{Fe}_{50}\text{Pt}_{50}^{5}$, par conséquent la maille primitive est quadratique simple de motif constitué døun atome de Co (ou Fe) et døun atome de Pt.

_

⁵ A. Cebollada, R. F. C. Farrow et M. T. Toney, Magne@c Nanostructures, Ed. H. S. Nalwa (2002)



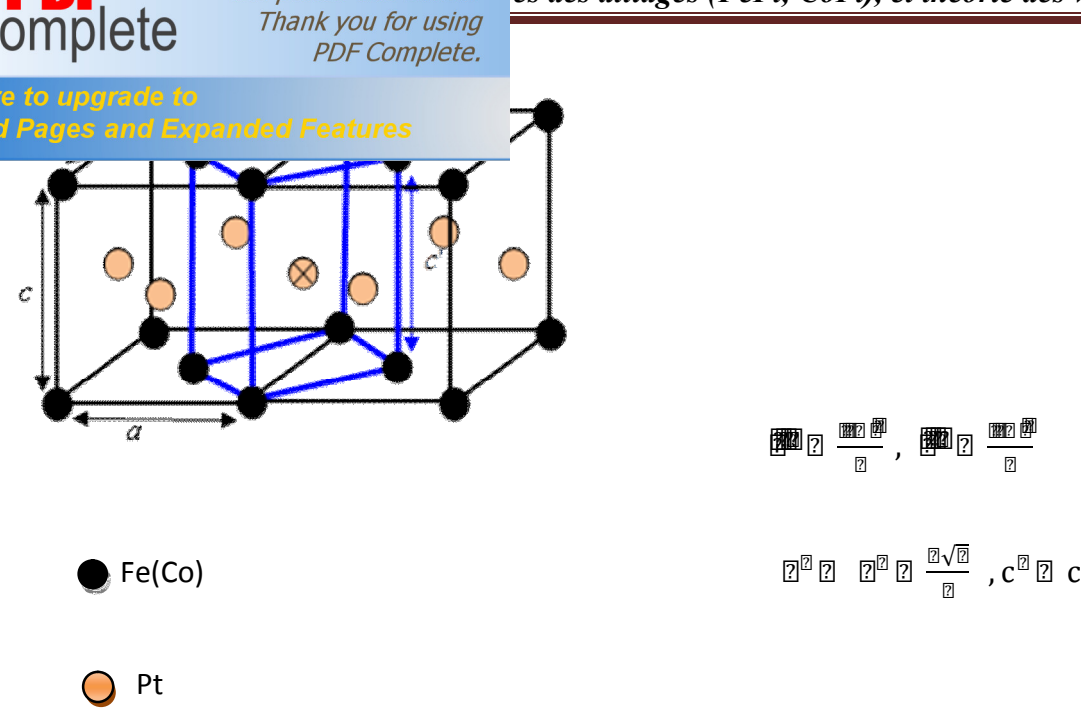


Figure. I.4 : Maille parente tétragonale à faces centrées (noir) et maille primitive quadratique (bleu).

I.2. Théorie de la dynamiqu vibrationnelle

Grace aux forces interatomiques les atomes døun cristal sont organisés et repartis de manière bien spécifique, pour être en équilibre, le cristal ou le système doatome cherche à minimiser son énergie. Si on se place à 0k, les atomes sont fixes dans leurs positions déequilibre. Comme la réalité est tout autre, puisque la température est toujours supérieure à Ok, par conséquent les atomes sont en perpétuel fluctuation ou vibration autour de leur position déequilibre. Une excitation électromagnétique peut aussi être à léorigine de dune vibration. Pour une meilleure illustration du phénomène de vibration, on assimile le système døatome à un système « masse-ressort», donc si une masse se déplace de sa position initiale sous løeffet døune excitation, elle se mettra à osciller autour de sa position d'équilibre, le ressort qui fait le lien entres les masses, et qui est analogue aux forces électrostatiques dans le cristal, transmet cette oscillation vers les autres atomes, cøest ce que løon appelle onde vibrationnelle. Cette dernière a des conséquences directes sur les propriétés des solides (chaleur spécifique, fusion, conductivité thermique) et des conséquences indirectes via leurs Unlimited Pages and Expanded Features

résistivité et løinteraction attractive qui conduit au

Dans notre étude nous allons nous limiter à løapproximation harmonique qui pose comme condition que les amplitudes de vibration sont faibles par rapport aux distances entre premiers proches voisins. Løénergie de vibration est quantifiée, le quantum døénergie est appelé phonon, par conséquent le gain ou la perte døun quantum døénergie par le cristal nøest rien døautre quøun échange de phonon. En effet, le phonon est une pseudo-particule dont løexistence dépend de løapparition du phénomène de vibration, et il peut être considérer comme imperfection puisquøils perturbent la périodicité du réseau cristallin⁷.

Du faite du très grand nombre doatomes dans un cristal, loétude de ses propriétés sont généralement complexe, et voir même impossible sans faire appel à des approximations, pour décrire loétat vibratoire.

I.2.1. Approche classique de la dynamique vibrationnelle

Pour entamer létude de la dynamique des vibrations de nos deux alliages, il convient déabord de repérer la position déquilibre de un atome dans la maille , cette position est spécifiée par le vecteur .

$$\mathbf{P}_{1,2} = \mathbf{P}_{2} + \mathbf{P}_{3} \tag{1.01}$$

Est le vecteur du réseau direct donnant la position de la maille.

Est le vecteur donnant la position de loatome au sein de la maille (indépendamment de) cette hypothèse se base sur lobservation expérimentale des structures cristallines qui démontre que le réseau de Bravais reste présent en dépit du mouvement des noyaux⁸.

Cependant, a correspond à une situation moyenne plutôt quainstantanée, ainsi le rayon vecteur de la latome déplacé est donné par

$$\mathbf{Q}_{,2} = \mathbf{Q}_{,2} + \mathbf{Q}_{,2} \tag{1.02}$$

⁶ R. Chadli, Thèse de doctorat, Université de Mouloud Mammeri, Tizi-Ouzou, Algérie, 2012, P.35.

⁷ J. D. Patterson and B. C. Bailey, Solid-state physic: Introduction to the theory, Elsevier Springer-Verlag Berlin Heidelberg (2007).

⁸ P. Ghosez et J. Raty, cours de physique des matériaux, Université de Liege, France ,2007-2008 ,P. 6.

løatome dans la direction par rapport à sa position døune cellule à une autre comme il peut se faire dans

les trois directions distinctes.

Léenergie potentielle est une fonction de $\mathbb{Z}_{\mathbb{Z},\mathbb{Z},\mathbb{Z}}$, son développement en série de Taylor au voisinage de léequilibre ($\mathbb{Z}_{\mathbb{Z},\mathbb{Z},\mathbb{Z}}$ \mathbb{Z} 0) est :

$$(2_{0,0,0}2222_{0}+\sum_{0,0,0}\frac{2020_{0,0,0}}{20_{0,0,0}}2$$

$$2_{0,0,0}+\frac{2}{2}\sum_{0,0,0}\frac{2020_{0,0,0}}{20_{0,0,0}}2$$

Comme, notre étude se fait dans le cadre de løapproximation harmonique, on peut donc se limiter à un développement en série limité au second ordre, ainsi les termes døordre 3 et 4í en $\mathbb{Z}_{\mathbb{Z},\mathbb{Z},\mathbb{Z}}$ dans løéquation (1.03) sont négligés.

Pour avoir la manière dont les atomes se déplacent et atteignent les positions déquilibre, la détermination des forces est nécessaire.

La force sœxerçant sur loatome (,), dans la direction est donnée sous la forme suivante :

Par définition de lœquilibre, le premier terme du second membre de lœquation (1.04) est nul, par conséquent lœquation du mouvement sera de la forme suivante :

Dans un cristal à 3 dimensions, N cellules unités, n atomes par cellule unité, (1.05) forme un système de 3Nn équations, et vu la taille très importante de ce dernier, il est donc nécessaire de faire des simplifications et døntroduire de nouveau paramètre mathématique qui nous permettrons døexploiter la périodicité spatiale du cristal. Alors, on pose

A partir des équations (1.05) et (1.06) on aura :

$$\mathbb{P}_{2,2,2} \, \mathbb{P}_{2,2,2} \, \mathbb{D}_{2,2,2}^{2,2,2} \, \mathbb{D}_{2,2,2}^{2,2,2,2} \, \mathbb{P}_{2,2,2}^{2,2,2,2}$$

$$(1.07)$$



Unlimited Pages and Expanded Features

 $\mathcal{D}^{\mathbb{Z}^{'},\mathbb{Z}^{'},\mathbb{Z}^{'}}$ est un élément de la matrice dynamique, dont la caractéristique principale vient de sa symétrie. De plus, la périodicité spatiale du cristal fait que léélément de matrice $\mathcal{D}^{\mathbb{Z}^{'},\mathbb{Z}^{'},\mathbb{Z}^{'}}$ ne dépend pas séparément des deux indices et $\mathbb{Z}^{'}$ mais seulement de la différence entre les deux translations primitives ($\mathbb{Z}^{'}$ $\mathbb{Z}^{'}$ $\mathbb{Z}^{'}$ $\mathbb{Z}^{'}$

Tant que la périodicité spatiale du cristal est préservée on peut imposer aux solutions propres de (1.07) une forme de fonction de Bloch.

$$[2, 2]$$
 $[2, 2]$ $[$

A partir de løéquation (1.07) et on utilisant la forme (1.09), la relation de dispersion sera :

Avec
$$22772^{2^{1},2^{1}}$$
 $2\sum_{2} D_{2,2,2}^{2^{1},2^{1}}$ 22222277772 22222277772 22222277772 22222277772 22222277772 22222277772 22222277772 22222277772 22222277772 22222277772 22222277772 22222277772 22222277772 222222777772 22222277772 22222277772 22222277772 22222277772 22222277772 22222277772 22222277772 22222277772 22222277772 22222277772 22222277772 22222277772 22222277772 22222277772 22222277772 22222277772 2222277772 2222277772 2222277772 2222277772 2222277772 2222277772 2222277772 2222277772 2222277772 2222277772 2222277772 2222277772 2222277772 2222277772 2222277772 2222277772 2222277772 222227777772 22222777772 22222777772 22222777772 22222777772 22222777772 22222777772 22222777772 22222777772 22222777772 22222777772 2222777772 2222777772 2222777772 22227777772 2222777772 22227777772 22227777772 22227777772 22222777772 22227777772 22227777772 22227777772 22227777772 22227777772 22227777772 22227777772 22227777772 22227777772 22227777772 22227777772 22227777772 22227777772 22227777772 22227777772 22227777772 22227777772 222277777772 22227777772 22227777772 22227777772 22227777772 22227777772 22227777772 22227777772 22227777772

2 2 est défini comme une matrice dynamique de vecteur dønde

Comme on a supposé que le théorème de Bloch est satisfait par le fait quøn a considéré le cristal infini et périodique, il est donc juste døappliquer les conditions cycliques de Born-Von Karman :

$$2?????L) = 1 ? ? ? \frac{??}{?}Z$$
 (1.12)

Z est un nombre appartenant à lænsemble 2.

De (1.12) on constate que les valeurs de \mathbb{Z} sont discrètes, pour chaque longueur $\frac{\mathbb{Z}}{\mathbb{Z}}$ une seule et unique valeur de \mathbb{Z} peut être déterminée, par conséquent la densité des points \mathbb{Z} permis est $\frac{\mathbb{Z}}{\mathbb{Z}\mathbb{Z}}$. A partir de là on voit que pour une zone de Brilouin de longueur $\frac{\mathbb{Z}\mathbb{Z}}{\mathbb{Z}}$ Correspond N points \mathbb{Z} possibles.

Unlimited Pages and Expanded Features

uation (1.10) possède 3n solutions appelées modes ra par 22 2322 2 2322 ou on distingue 2 2322 la

fréquence propre des vibrations et [22] [27] le vecteur propre de vibration, qui définit la polarisation de la vibration propre ou du phonon considéré. Le mouvement effectif des atomes est donc une combinaison linéaire de 3nN mode de vibrations, ainsi le spectre de vibration du cristal est donné par le graphe de lænsemble des 3n fonctions [2] [2] [2] dont on distingue 3 relations de dispersons acoustique et 3n-3 relations de dispersions optique.

Les déplacements parallèles au vecteur døonde sont les ondes longitudinales ou de compression, un seul mode de ce type apparait pour chaque **m** et les déplacements perpendiculaire à **m** sont les ondes transverses ou de cisaillement, deux modes de ce type apparait pour chaque **m**

I.2.2. Approche quantique de la dynamique vibrationnelle

Lø hamiltonien de lænsemble des noyaux du cristal est équivalent à une somme de hamiltoniens døscillateurs harmonique définis par les différentes pulsations 2 222

Les nN noyaux du cristal ont alors un hamiltonien de la forme suivante $H = \sum_{\mathbb{Z}_{1},\mathbb{Z}_{1}} \mathbb{Z}_{\frac{\mathbb{Z}_{2}}{\mathbb{Z}_{2}}} + \mathbb{Z}_{2} \sum_{\mathbb{Z}_{1},\mathbb{Z}_{1}} \mathbb{Z}_{\frac{\mathbb{Z}_{2}}{\mathbb{Z}_{2}},\mathbb{Z}_{2}} \mathbb{Z}_{2} \mathbb{$

Après une transformation linéaire des opérateurs de quantité de mouvement , et des opérateurs de position , par lointroduction dopérateur de création et doannihilation en respectant les conditions doorthogonalité des vecteurs , on obtient une nouvelle expression de lohamiltonien qui se présentera sous forme doune somme de 3nN hamiltoniens doscillateur harmonique.

$$H = \sum_{2 \text{ min}} \frac{2}{22} \ 22 \text{ min} 222 \frac{2}{22}$$

Les valeurs propres de (1.14) sont alors de la forme suivante

$$E = \sum_{?, m} ???_{?,m} ? \frac{?}{?} ? \frac{?}{?} ? ? ? ? m?$$
 (1.15)

Comme, $2_{3,100}$ appartient à lœnsemble des entiers naturels, les énergie des noyaux sont égales à la suite de $\frac{2}{22}$ 23 23 23 23 on peut alors les assimiler à un ensemble de particules indiscernables



Click Here to upgrade to Unlimited Pages and Expanded Features

es des alliages (FePt, CoPt), et théorie des vibrations

s quø on appelle phonon obéissent à la statistique de s en nombre quelconque dans tous les états. Unlimited Pages and Expanded Features

Dans ce troisième et dernier chapitre seront présentés tous les résultats de nos calculs, ainsi que leur discutions et comparaison avec déautres résultats. En effet, Comme il a été déjà dit, notre étude se rapporte sur deux alliages CoPt et FePt en structure L1₀ constituée par deux atomes à savoir (Co,Pt) ou (Fe,Pt) comme le montre la figure III.1, elle est de forme tétragonale et appartenant à un réseau quadratique, son paramètre de maille a_t est égal à $a\sqrt{2}$ et c diffère de a qui est le paramètre de la maille conventionnelle.



Figure. III. 1 : La structure 🕮 représentant les deux alliages FePt et CoPt.

²¹ A. Sediri. Mémoire de master, Université de Mouloud Mammeri, Tizi-Ouzou, Algérie, 2011.

Slick Here to upgrade to Inlimited Pages and Evnanded Features

le maille

Pour résoudre numériquement les équations de Kohn-Sham, nous allons déabord déterminer les trois paramètres correspondants à un minimum de léenergie totale du système, car ces paramètres sont nécessaires et très influents sur la précision ainsi que sur le temps de calcul.

- 1- la taille de la supercellule (les paramètres a_t et c correspondant a la stabilité de la structure $L1_0$).
- 2- løénergie de coupure $E_{\square\square}$ désignée par le terme << Cutoff >> en anglais (elle sert à limiter la taille de la base dans laquelle sont décrites les fonctions døondes).
- 3- le maillage aux points k nécessaire pour løintégration de la zone de Brillouin.

III.1.1. Taille de la supercellule

Pour pouvoir déterminer la taille de la maille la plus stable, nous avions dû effectuer des tests de convergence de manière à obtenir un minimum de løénergie totale ; nous avons alors calculé løénergie totale de la structure L1₀ de løalliage FePt en variant le paramètre a_t de 2,5Å jusqu'à 2,9Å (le paramètre a de la maille conventionnelle varie de 3,535Å à 4,101Å,) pour chacune des différentes valeurs de la distorsion c/a, et les résultats obtenus sont représentés sur la Figure III.2. La même procédure a été déroulée pour la structure L1₀ de løalliage CoPt à la différence que le paramètre a_t a été varié de 2,54Å à 2,82Å (le paramètre a de la maille conventionnelle varie de 3,6Å à 4Å).

Figure. III. 2 : Variation de l'énergie totale de la structure L10 de l'alliage FePt en fonction de at pour les différentes valeurs de c/a.

2,7

Paramètre de la maille tétragonale at(Å)

2,8

2,9

Løanalyse du graphe montre que le minimum de løénergie totale est de -142,41742831 Ry, il est atteint pour un rapport c/a égal à 0,97 et une valeur du paramètre cristallin $a_{t=}$ 2,7Å.

2,6

2,5

Après avoir calculer le volume de la phase L1₀ de løalliage FePt en fonction des différentes valeurs de la tétraginalisation c/a, et nous avons représenté la variation de løénergie totale de la phase L1₀ de løalliage FePt en fonction du volume (figure.III.3).

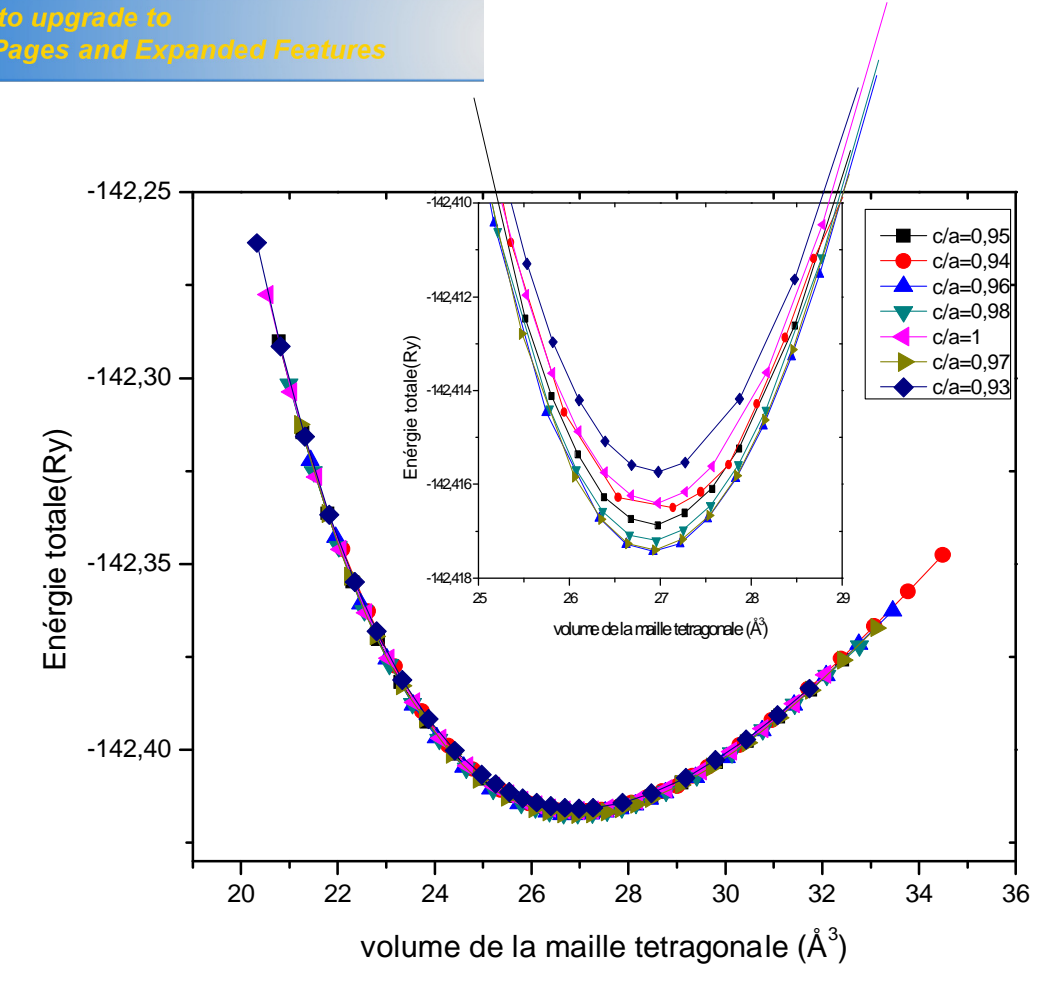


Figure. III. 3 : Evolution de l'énergie totale de la structure tétragonale de l'alliage FePt en fonction du volume pour différents rapport c/a.

A partir du graphe (Figure. III. 3) on constate que le volume de la structure $L1_{\mathbb{Z}}$ la plus stable pour løalliage FePt est de 26,9204391Å³.

Dans løbjectif døune meilleur illustration des paramètres de la maille tétragonale 21 de løalliage FePt correspondant à løéquilibre stable, nous avons extrait le minimum de løénergie totale pour chaquøune des courbes précédentes, et nous avons dressé le tableau. III. 1 suivant:

26,9400389

26,8968876

26,9556265

26,9671411

27,1408531

26,9745215

26,9777063

27,2644041

-142,4173995

-142,4173189

-142,4172016

-142,4168725

-142,4164975

-142,4163997

-142,4157359

-142,4138818

Complete		use peri	ou nas enueu.	resultais et alscu			
E	omplete	e inank	k you for using PDF Complete.				
	re to upgrade d Pages and			c/a	$V(\mathring{A}^3)$	$E_t(Ry)$	
Ommine	u rayes anu						
	2,7	3,807	3,69279	0,97	26,9204391	-142,41742831	
	2,7	3,807	3,71	0,97452062	27,0459	-142,4174111	

0,96

0,98

0,95

0,94

1

0,93

0,92

0,9

3,668256

3,717042

3,64344

3,618342

3,7788

3,592962

3,5673

3,52782

3,8211

3,7929

3,8352

3,8493

3,7788

3,8634

3,8775

3,9198

2,71

2,69

2,72

2,73

2,68

2,74

2,75

2,78

Tableau. III. 1 : Energie totale minimale pour les différents rapports o	c/a
ainsi que les paramètres a _t , a et c correspondant.	

On a aussi repris le tableau.III.2, qui résume les résultats obtenus pour la structure L $1_{\mathbb{Z}}$ de løalliage CoPt.

c/a	0,90	0,93	0,95	0,97	0,98
a _t (Å)	2,751	2,722	2,702	2,687	2,673
a(Å)	3,890	3,849	3,829	3,799	3 ,780
c(Å)	3,501	3,579	3,637	3,685	3,704
Et(Ry)	-161,0228	-161,0243	-161,0246	-161,0244	-161,0241

Tableau. III. 2: les énergies totales du système CoPt pour différents rapports c/a ²².

Afin de pouvoir vérifier la fiabilité de nos calculs, nous avons confronté nos résultats avec dœutres valeurs théoriques et expérimentales. Nous constatons bien que les paramètres a et c

²² A. Sediri. Mémoire de master, Université de Mouloud Mammeri, Tizi- Ouzou , Algerie, 2011.P.20.

e la plus stable ne sont, respectivement, plus petit que urs expérimentales données par «Cebollada2002» et a

ne diffère des résultats théoriques de «A. Dannberg »²³ que 0,72 %.

III.1.2. Evolution de l'énergie totale de la structure L1₀ FePt en fonction de l'énergie de coupure.

Lænergie de coupure est un paramètre très important dans le calcul, tellement il est influant sur la qualité des résultats et sur le temps nécessaire à la convergence. En effet, la taille de la base dans laquelle sont décrites les fonctions døondes est limitée par lænergie de coupure E_{cut} la manière standard de choisir la base døondes planes est de considérer toutes les ondes plane dont lænergie cinétique est inferieur à une certaine limite, lænergie de coupure E_{cut}^{24} . Pour la déterminer nous avons cherché la convergence de lænergie totale en fonction de E_{cut} qui varie de 10Ry à 100Ry avec les paramètres de la structure la plus stable $a_t = 2.7 \text{ Å}$, et c = 3.692 Å et les résultats obtenus sont représentés sur la figure.III.4.

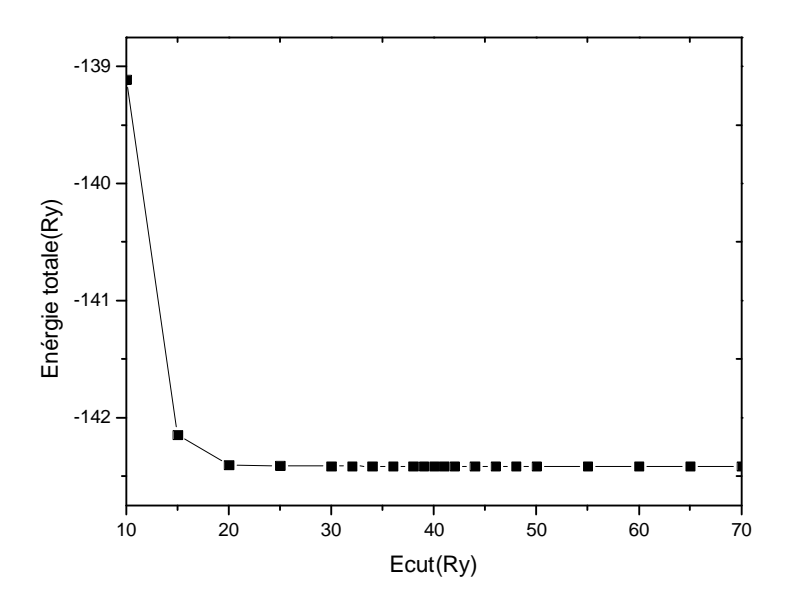


Figure. III. 4 : Evolution de l'énergie totale du système FePt 22 en fonction de l'énergie de coupure.

²³ A. Dannenberg, Markus E. Gruner, A. Hucht, P. Arxiv: 0909.0420v2 [Cond –mat.mtr], (2009).

²⁴ J. Souhabi, Thèse de doctorat, Université de Metz, France, 2010, P.33.

i figure précédente, que løénergie totale du système ur une valeur de løE_{cut} égale à 38Ry. Indiquons, par

III.1.3. Evolution de l'énergie totale du système FePt $L1_0$ en fonction du nombre de points k

Au delà des problèmes liés à la taille de la supercellule, le calcul de løénergie totale søbtient en intégrant sur la zone de Brillouin. Pour pouvoir réaliser numériquement cette intégrale, il a fallu introduire la technique døéchantillonnage qui consiste à diviser la zone de Brillouin en petits volumes. Il est à noter que le nombre de points k à un impacte direct et sensible sur le temps et la qualité des résultats. Pour avoir un maillage adéquat, nous avons cherché la stabilité de løénergie totale toute en variant le nombre de points k pour un intervalle allant de (02*02*01) jusqu'à (18*18*18). La figure.III.4 est une représentation des résultats obtenus.

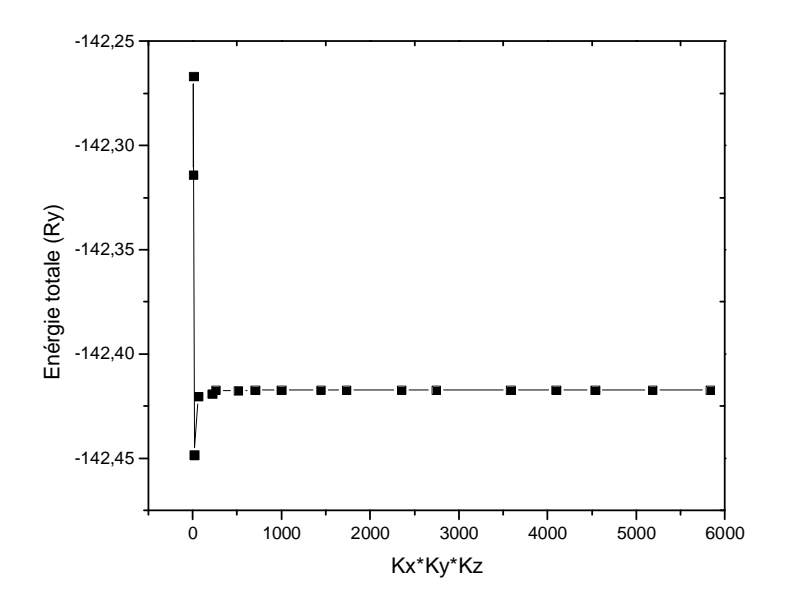


Figure. III. 5 : Evolution de l'énergie totale du système FePt 🖫 en fonction du nombre de points k.

Unlimited Pages and Expanded Features

imum de løénergie totale est atteins pour un maillage '04*01). Cependant, cette valeur næst pas à retenir

puisque la stabilité de lœénergie totale nœaboutie quœà partir de la configuration (10*10*7). Pour notre travail, nous avons choisi de continuer les calculs avec le maillage (14*14*11) qui est en accord avec le travail de «A. Dannberg»²³.

Jusqu'à présent, nous avons déterminé les trois paramètres nécessaires et adéquats pour la résolution numérique des équations de Kohn-Sham, ainsi que pour le calcul des courbes de dispersion des phonons. Pour une meilleure présentation, nous avons récapitulé les valeurs de ces trois paramètres dans un tableau qui les illustres au mieux.

		Løalliage FePt en structure L1 ₀	Løalliage CoPt en structure L1 ₀
La taille de la	a _t (Å)	2,7	2,708
	c(Å)	3,69279	3,6382
supercellule	v(ų)	26,919	26,679
Le maillage aux points k		14*14*11	14*14*11
Énergie de coupure (Ry)		40	35

Tableau. III. 2 : les trois paramètres caractérisant la stabilité de la structure $L1_0$ des alliages FePt et CoPt

Si on compare les paramètres déterminés pour les deux alliages (FePt et CoPt,) on remarquera quøils sont très proches ; cela est justifié par le faite que la masse des éléments chimiques Fe et Co soit proche, ainsi que leurs numéros atomiques qui ne différent que døune unité.

III.2. Courbes de dispersion de phonon des alliages FePt et CoPt en structure L1₀

Notre ambition est de décrire le comportement vibrationnelle des deux alliages par un calcul théorique, tel quøil peut être mesuré à løchelle du laboratoire par les techniques de spectroscopie optique(le spectre des phonons des deux alliages FePt, et CoPt est déterminé døune manière complète par diffusion inélastique de neutrons ²⁵), mais vu que la mesure directe søavère difficile voire parfoie impossible (manque døchantillons, ou signale trop

-

²⁵ L. Messad, Thèse de doctorat, Université de Mouloud Mammeri, Tizi-Ouzou, Algérie, 2009.

mode døimpureté í), auquel cas il devient capital de

La structure $L1_0$ est constituée de deux atomes, si on lui applique alors la théorie des vibrations présentée dans le premier chapitre on constate que le spectre de vibration est formé par $3 \times 2 = 6$ branches, dont 3 acoustiques et $3 \times 2 - 3 = 3$ optiques.

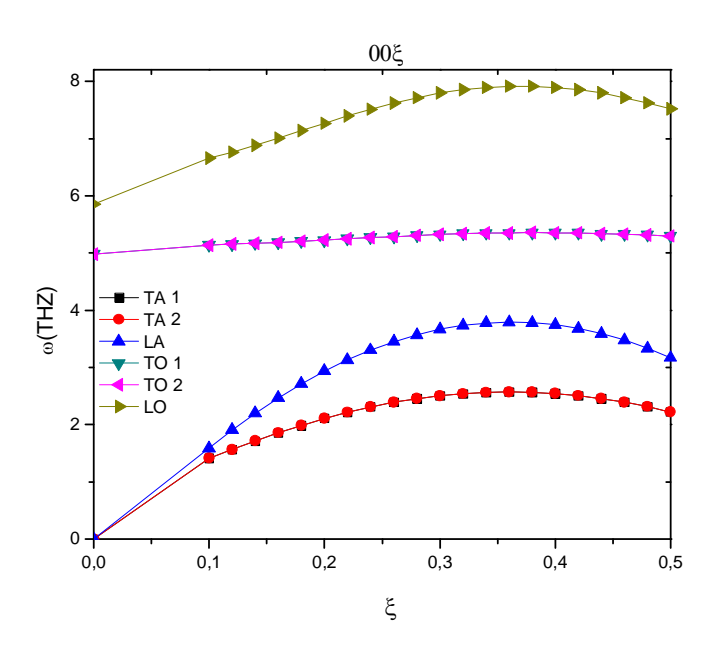


Figure. III. 6: Courbes de dispersion dans la direction [001] pour l'alliage FePt.

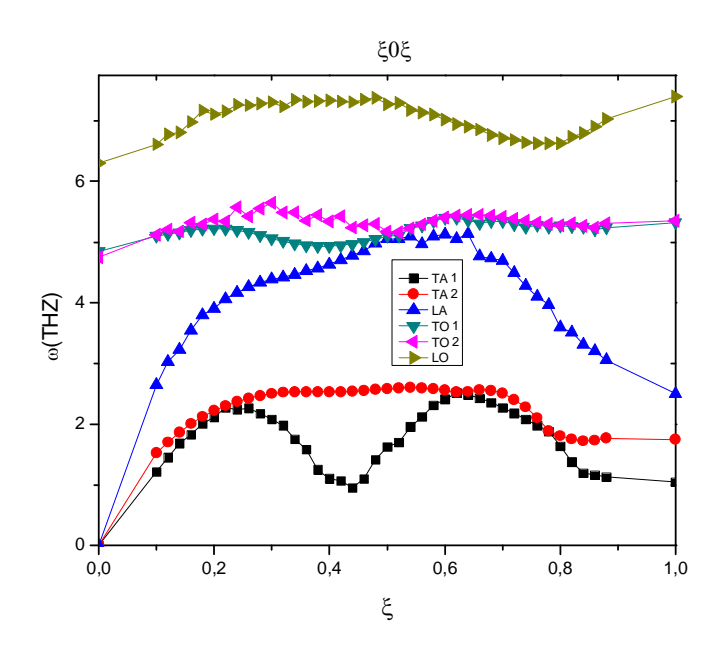


Figure. III. 7: Courbes de dispersion dans la direction [101] pour l'alliage FePt.

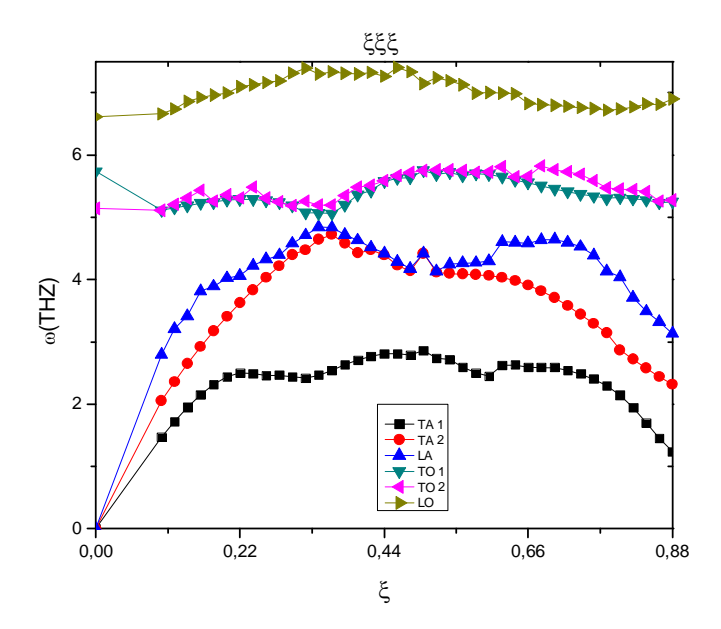


Figure. III. 8 : Courbes de dispersion dans la direction [111] pour l'alliage FePt.

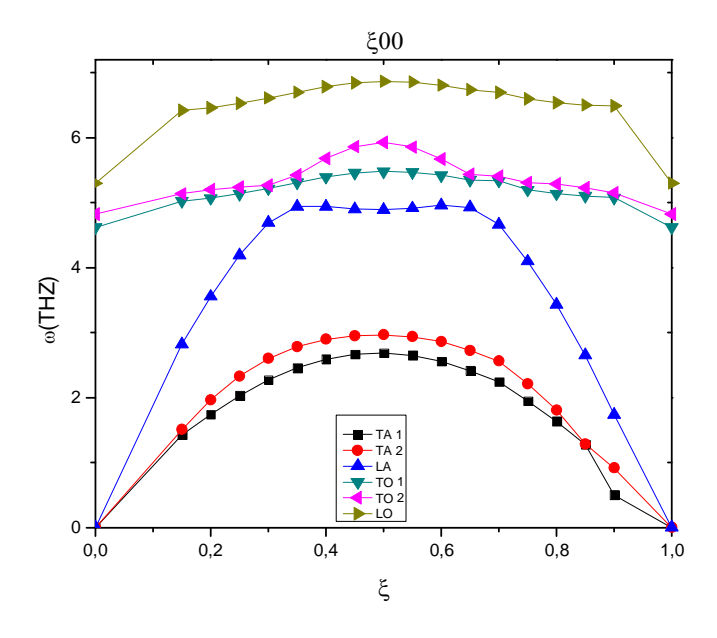


Figure. III. 9: Courbes de dispersion dans la direction [100] pour l'alliage FePt.

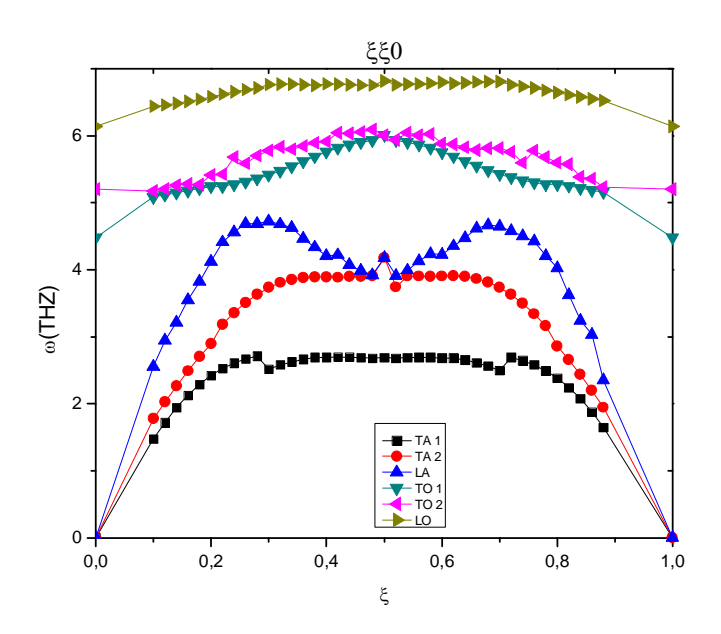


Figure. III. 10: Courbes de dispersion dans la direction [110] pour l'alliage FePt.

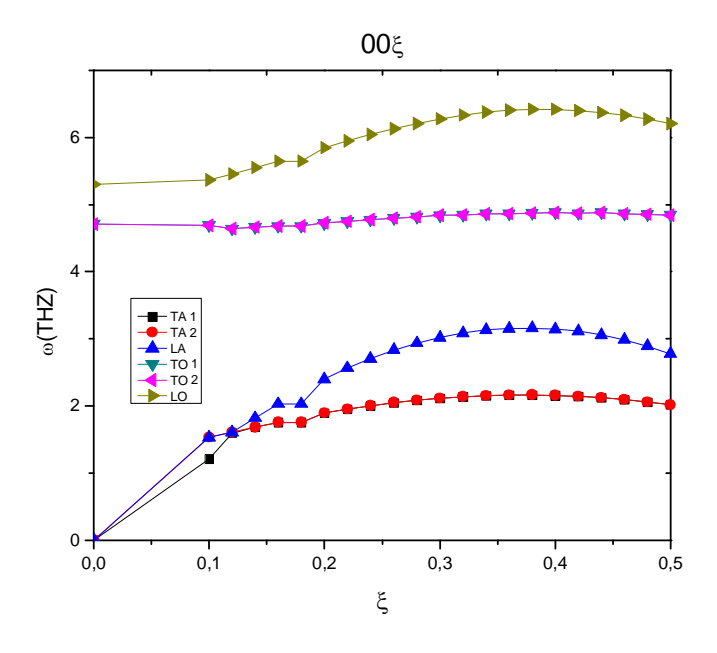


Figure. III. 11: Courbes de dispersion dans la direction [001] pour l'alliage CoPt.

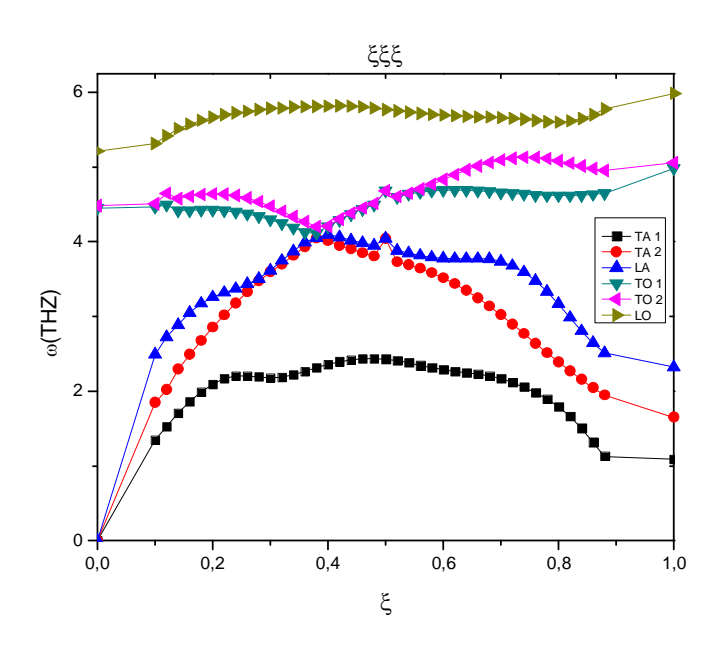


Figure. III. 12: Courbes de dispersion dans la direction [111] pour l'alliage CoPt.

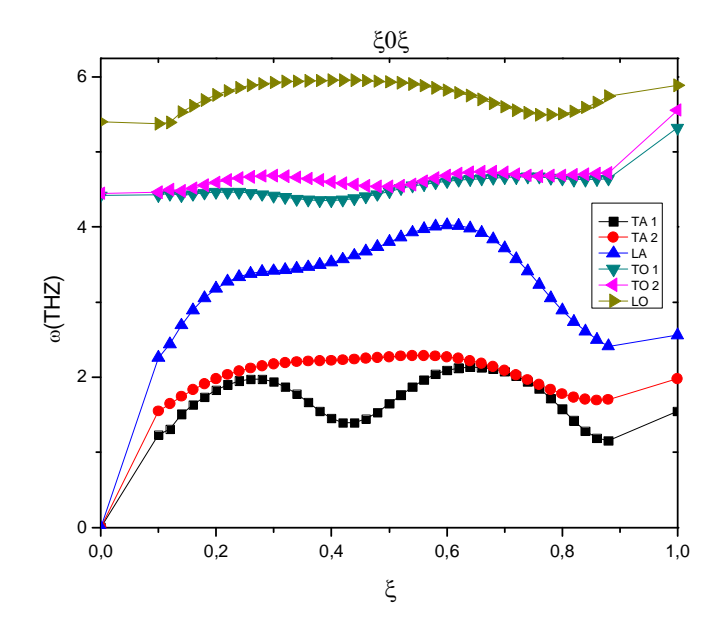


Figure. III. 13: Courbes de dispersion dans la direction [101] pour l'alliage CoPt.

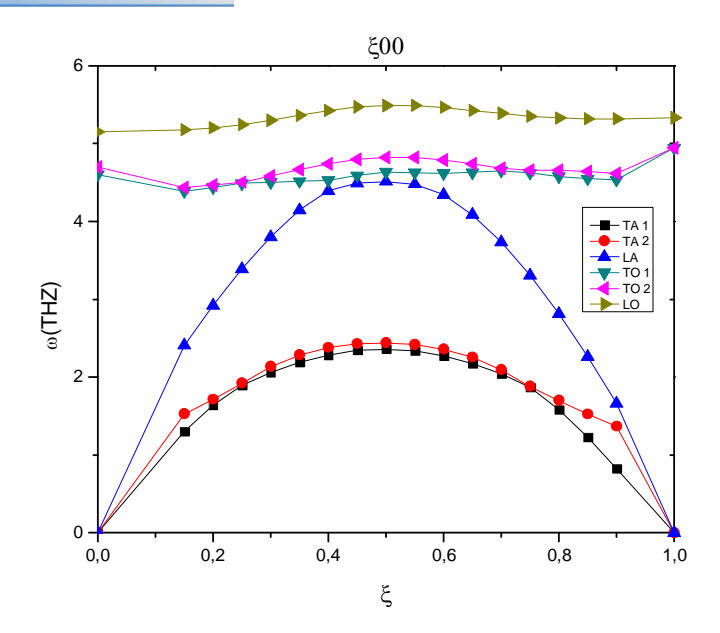


Figure. III. 14: Courbes de dispersion dans la direction [100] pour l'alliage CoPt.

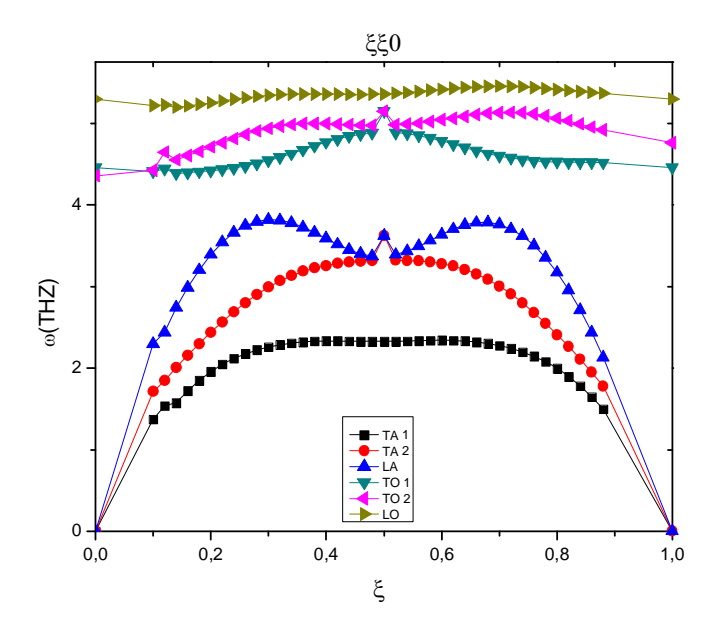


Figure. III. 15: Courbes de dispersion dans la direction [110] pour l'alliage CoPt.

calcul ab-initio).

spectres de phonons obtenus par le calcul ab-initio

Le spectre de phonon est déterminé de manière complète par la diffusion inélastique de neutrons 25 , cependant, les calculs ne converges pas en limite de zone cœst-à-dire pour ζ appartenant aux intervalles $\boxed{20}$, $0.1\boxed{2}$ et $\boxed{20.88}$, $1\boxed{2}$, et du fait on a recourus à une approximation pour la détermination des fréquences correspondantes aux points $\zeta=0$ et $\zeta=1$. Cette approximation consiste en le calcul de la différence moyenne entre les fréquences mesurées et celle obtenues par le calcul ab-initio (la différence est calculée pour des fréquences appartenant à la même branche et correspondant à une même valeur de ζ , cette différence moyenne est soustraite de la valeur expérimentale pour avoir une valeur

Les fréquences mesurées sont supérieures a celle obtenues par le calcul, cela est dû au faite que dans lœxpérience tout les paramètres sont pries en considération avec une température de 300K, ce qui nœst pas le cas pour les calculs

approximée de la fréquence correspondant à la limite de zone dans le spectre obtenu par le

Le spectre de phonons dans la direction [001] pour løalliage CoPt a la même allure que celui déterminé par la diffusion inélastique de neutrons sauf que pour les deux point $\zeta = 0.1$ et $\zeta = 0.12$ on perd la dégénérescence des branches transversales acoustiques et on a la dégénérescence de la branche longitudinale acoustique avec la branche transversal acoustique.

clusion générale

Notre travail de mémoire avait pour objectif le calcul des courbes de dispersion de phonons pour les alliages FePt et CoPt de phase L1₀. Léétude est réalisée dans le cadre de la théorie de la fonctionnelle de la densité (dans léapproximation GGA) à léaide du code de calcul Qantum Espresso. Nous avons utilisé des ondes planes comme base pour les fonctions déondes électroniques et un pseudo-potentiel de type PAW. En effet, grâce à la qualité de ses résultats, ce code a déjà fait ses preuves lors de précédentes recherches.

Avant de procéder au calcul de courbes de dispersion, il a fallu døabord réaliser (garantir) une optimisation des paramètres de convergence du code de calcul, ce qui consiste en la détermination des paramètres de maille de la structure L1₀ la plus stable, ainsi que de løénergie de coupure E_{cut} et de løéchantillonnage minimisant løénergie totale du système. Cette étape de løétude nøa concerné que løalliage FePt puisque, pour le CoPt, les résultats sont déjà connus, et ils sont réalisés avec le même code de calcul que celui que nous avons exploité.

Dans un premier lieu, nous avons effectué des testes de convergence de lænergie totale E_t , en fonction de la tétragonalisation c/a pour différentes valeur de a_t (le paramètre a aussi varie de manière biunivoque que a_t), et on a abouti a à un minimum de E_t égale -142,41742Ry pour une valeur du rapport c/a correspondant à 0,97, on a donc déterminer les paramètres de maille de la supercellule qui a un volume de 26,920ų avec a_t = 2,70Å et c= 3,692Å Pour le CoPt, lænergie minimale déterminée est de -161,0246Ry coïncidant avec la valeur de 0,95 de la distorsion c/a.

Pour que løalgorithme du code de calcul puisse fonctionner, il a fallu rendre la base des fonctions døondes finie. Ceci est réalisable par la détermination døune énergie de coupure E_{cut} , qui minimise løenergie Et du système. Nous avons donc cherché la convergence de løenergie totale en variant E_{cut} de 10 à 100Ry, et nous avons aboutie à la stabilité de Et pour une énergie de coupure égale a 40Ry. Les résultats que nous possédons pour løalliage cobalt-platine montre que løenergie minimale søest stabilisée à partir døune énergie de coupure égale à 35Ry.

La technique déchantillonnage de la zone de Brillouin est introduite afin que léintégration soit possible, nous avons alors lancé la recherche de la convergence de E_t en



Click Here to upgrade to iguration (kx*ky*kz) dans un intervalle allant de Unlimited Pages and Expanded Features iguration (kx*ky*kz) dans un intervalle allant de retenant les valeurs déjà déterminées auparavant

(a_t=2,7Å., c=3,69279 Å, E_{cut}=40Ry), et nous avons constaté que løbjectif est atteint pour un maillage de (14*14*11) égal au résultat des travaux effectués sur le CoPt.

Après avoir déterminé ces différents paramètres, nous avons procédé au calcul des fréquences de vibrations des phonons døun bon nombre de points pour chacune des cinq directions de plus haute symétrie, à savoir la direction 2001 200 200 201 200 201 200 201 20

Comme perspectives pour notre travail:

- > Détermination des grandeurs thermodynamique et élastique.
- ➤ Effet de la surface sur la dynamique vibrationnelle des deux systèmes.
- > Interaction phonons-électrons.

Unlimited Pages and Expanded Features

Pour la simulation electronique, le code Qantum Espresso est largement utilisé, il est conçu par la collaboration de plusieurs institutions sous l'initiative DEMOCRITOS National Simulation Centre of INFM. Ce code met en œuvre diverse méthodes et algorithmes, il utilise, une base d'ondes planes, et la technique du pseudopotentiel, il a l'avantage de traiter des boites de simulation de quelque dizaine d'atomes; il est basé sur la méthode DFT qui est une méthode ab initio.

Dans la perspective de décrire la DFT, nous allons retracé son aspect théorique, et décrire les différentes approximations qui l'ont précédées dans le but de mettre en évidence les avantages qui ont fait de la DFT, depuis le début du XXIe siècle, l'une des méthodes les plus utilisées dans les calculs quantiques de la structure électronique de la matière (atomes, molécules, solides) aussi bien en physique de la matière condensée qu'en chimie quantique.

Pour ce faire, nous émettrons deux questions :

Comment l'étude quantique d'un système à plusieurs corps a été abordée avant l'élaboration de la DFT ?

Qu'en-est-il de la D F T?

II.1. Les différentes approximations et leurs limites, avant la DFT

Comme le titre l'indique, cette partie tentera d'apporter une réponse à notre première question, nous allons donc décrire les différentes approximations, toute en parlant des avantages ainsi que des inconvénients qu'elles présentent. En effet, ces inconvénients font le moteur de la recherche de nouvelles approximations.

II.1.1. Equation de Schrödinger

Les bases du calcul quantique ont été posées aux environs de 1925 par Heisenberg, Born et Jordan, puis finalisées en 1926 par Schrödinger et sa fameuse équation. Depuis, pour l'étude quantique d'un système à plusieurs corps en interactions, il revient à résoudre l'équation de Schrödinger exacte ou indépendante du temps, et cela dépend du processus s'il est stationnaire ou pas.

Dans le cas des phénomènes stationnaires, l'équation de Schrödinger se réduit à :

(2.01)

Unlimited Pages and Expanded Features

Ĥ est l'opérateur hamiltonien.

E est l'énergie propre du système.

Ψ(**R** 22 est la fonction d'onde.

Comme on parle d'un système à plusieurs particules (N électrons et A noyaux) en interactions l'hamiltonien va donc s'écrire de la forme suivante :

$$\hat{H} = \mathbb{Z} \sum_{n=1}^{\infty} \frac{h^{2}}{2n} \mathbb{Z}^{2} \mathbb{Z} \times \sum_{n=1}^{\infty} \frac{h^{2}}{2n} \mathbb{Z}^{2} \times \sum_{n=1}^{\infty} \frac{h^{2}}{2n} \mathbb{Z}^{2} \times \sum_{n=1}^{\infty} \frac{\mathbb{Z}^{2}}{2n} \mathbb{Z}^{2} \times \sum_{n=1}^{\infty} \mathbb{Z}^{2} \times \sum_{n=1}^{\infty$$

$$\hbar = \frac{?}{??}$$

h est la constante de Planck.

Les deux premiers termes de l'hamiltonien sont respectivement :

L'opérateur énergie cinétique $\mathbb{Z}_{\mathbb{R}}$ des N électrons (indexés, \mathbf{i}).

L'opérateur énergie cinétique $\mathbb{Z}_{\mathbb{R}}$ des A noyaux atomiques (indexés, \mathbf{I})

Les trois autres termes représentent respectivement les différents potentiels d'interaction :

Electron-noyau 🖫 🖫 ; Electron-électron 🖫 ; Noyau-noyau 🖫 🖫 .

Il est claire que l'opérateur hamiltonien ainsi que la fonction d'onde du système dépendent des coordonnées électroniques et nucléaires de chaque particule, par conséquent l'équation de Schrödinger est très complexe, elle n'a de solution exacte que pour l'atome d'hydrogène et de l'ion moléculaire H. Cependant, pour l'étude de système plus complexe, nous sommes obligés de recourir à des solutions approchées par le biller d'approximations portant sur l'expression de l'hamiltonien lui-même et/ou sur la forme a priori de la fonction d'onde qui doit néanmoins satisfaire à certaines conditions physiques.

II.1.2. Approximation de Born-Oppenheimer

L'approximation de Born-Oppenheimer revient à découpler les mouvements des électrons mobiles de ceux des noyaux (ou des cœurs), en effet, l'argument avancé par ces deux physiciens pour justifier leurs approximations est le très faible rapport (10⁻⁴, 10⁻⁵⁾ entre la masse de l'électron et celle du noyau. Le résultat principal qui en dérive c'est que si on

⁹ P. Chaquin (LCT-UPMC) Pra 2 que de la Chimie Théorique. 2010. P. 01.

_

rapport aux noyaux, ces derniers sont réduits à une ue puisque leurs positions sont considérées fixes

comparativement aux mouvements des électrons.

On définit alors l'hamiltonien électronique :

$$\hat{H}_{222} = ?? \sum_{2} \frac{\hbar^{2}}{22} \quad ?? \quad \sum_{2} ? \quad \sum_{2} ? \quad \sum_{3} ? \quad 2 ?$$

On cherche la fonction propre de Ĥ sous la forme

$$\Psi(\mathbf{R},\mathbf{P}) = \Psi_{\mathbb{P}} \mathbf{R} \mathbf{P}_{\mathbb{P}} \Psi_{\mathbb{P}}(\mathbf{R},\mathbf{P}) \tag{2.04}$$

Ou $\mathbb{Z}_{\mathbb{Z}}$ \mathbb{Z} est la fonction d'onde associée a la partie de \hat{H} relative aux électrons et dans laquelle on suppose les cœurs immobiles dans la configuration $\Psi_{\mathbb{Z}}$

L'énergie électronique E est déterminée à partir de l'équation aux valeurs propres suivante

$$\hat{H}_{200} \Psi_{2} = 0.05$$

Ainsi l'hamiltonien total réel qui prend en compte le mouvement des noyaux s'exprime :

$$\hat{H} = \hat{H}_{22} \ 2 \ \sum_{22} \frac{2^{2}}{4^{2}} \ -\sum_{2} \frac{\hbar^{2}}{2^{2}} \ 2^{2} \ 2^{$$

On appliquant Ĥ à Ψ(🖪, 🗈) on aura :

$$\hat{H} \ \Psi(\ \mathbb{R}^{2}, \mathbb{Z}) = \mathbb{R}^{2} \sum_{2}^{2} \frac{h^{2}}{2\mathbb{Z}_{2}} \mathbb{Z}^{2} \mathbb{Z}$$

$$-\sum_{2}^{2} \frac{\hbar^{2}}{22} 22 \frac{22}{22} 22 \frac{$$

La contribution du terme $2\sum_{1}^{2}\frac{h^{2}}{22}$ $22\frac{n^{2}}{2n}$ $22\frac{n$

$$\hat{H}_{2}\Psi_{2}$$
 \mathbb{R}_{2} \mathbb{R}_{2}

Inlimited Pages and Expanded Features

ae intervient comme un potentiel d'interaction entre

Même sous cette forme simplifiée de l'équation (2.08), le problème de la résolution demeure toujours, et la négligence du terme ne permet pas de décrire les possibilités de transition électronique induite par les vibrations du réseau. Ce qui pousse à chercher d'autres approximations.

II.1.3. Approximation de Hartree

Pour simplifier l'étude du système à plusieurs corps et rendre l'équation de Schrödinger soluble, Hartree tenta d'améliorer et d'adapter l'approximation à un électron au système en interaction. Ainsi, l'idée principale de Hartree est de considérer que chaque électron du système est plongé dans un champ électrique, crée par les autres électrons de ce même système, ils sont alors traités comme une distribution négative de charge de densité \mathbb{Z} .

L'hamiltonien se présente alors comme la somme d'hamiltoniens individuels à un électron.

$$\hat{\mathbf{H}} = \sum_{\mathbb{R}} \hat{\mathbf{H}}_{\mathbb{R}} \tag{2.09}$$

En plus de l'énergie cinétique, $\hat{H}_{\mathbb{Z}}$ doit tenir compte du potentiel dû aux ions ainsi que du potentiel de l'électron dans le champ des autres électrons.

Le potentiel dû aux noyaux est :

Le potentiel de l'électron dans le champ des autres électrons est :

Où 222est la densité de charge donnée par :

$$???????\sum_{2}?2222^{2}$$
 (2.12)

La fonction d'onde est le produit de fonction d'onde à un électron.

On obtient ainsi les N équations de Hartree (équation non linéaires)

Julick Here to upgrade to Inlimited Pages and Expanded Features

$$? ?^{22}???? ?_{2}???? ?_{2}???$$
 (2.14)

Ces équations sont solubles par la méthode self-consistant, mais les résultats obtenus ne sont pas conformes à l'expérience. En effet, les insuffisances de cette approximation reviennent au fait que chaque électron ressent sa propre charge, et que la fonction d'onde de Hartree est incompatible avec le principe de Pauli.

II.1.4. Approximation de Hartree-Fock

Dans cette approximation, le principe de Pauli est pris en considération, il se traduit par le fait que la fonction d'onde s'écrit sous la forme d'un déterminant de Slater, ce qui lui donne le caractère antisymétrique.

On obtient comme pour l'approximation de Hartree, N équations de Hartree-Fock données sous la forme suivante :

$$2\frac{\hbar^{2}}{22} \quad 2_{i}^{2} \Psi_{i} \text{ 2222 } u^{222} \text{ 2} \Psi_{i} \text{ 2222 } u^{222} \text{ 2} \Psi_{i} \text{ 2222 } \Sigma_{2} \text{ 3} \text{ d} \text{ 2} \Psi_{i} \text{ 2222 } \Sigma_{2} \text{ d} \text{ 2} \Psi_{i} \text{ 2222 } \Sigma_{i} \text{ 4} \Psi_{i} \text{ 4} \Psi_{i} \text{ 2222 } \Sigma_{i} \text{ 4} \Psi_{i} \text{ 2222 } \Sigma_{i} \text{ 4} \Psi_{i} \text{ 4} \Psi_{i} \text{ 4}$$

Le dernier terme de l'équation (2.14) est appelé terme d'échange, il est d'origine colombienne et provient du mouvement corrélé des électrons dû à l'antisymétrie de la fonction d'onde. Ce terme d'échange rend la résolution des équations de Hartee-Fock difficile, elles ne sont solubles exactement que pour le cas du gaz d'électrons libres, et leur utilisation pour les solides est généralement impossible.

Unlimited Pages and Expanded Features

Afin de pouvoir calculer l'energie totale d'un atome sans passer par l'équation de Schrödinger, Thomas-Fermi se sont servi des arguments de la physique statistique (statistique de Fermi-Dirac) pour déterminer la distribution électronique et le champ électrique autour des noyaux, la base mathématique utilisée était de postuler que les électrons sont distribués de manière uniforme dans l'espace des phases¹⁰, et l'énergie cinétique peut s'écrire comme suit :

$$T_{22} \approx 2 \cdot 2 \cdot \frac{2}{22} \approx 3 \pi^{2} \approx 2 \cdot \rho \approx \alpha^{2} \cdot \alpha^{2}$$
 (2.16)

probabilité électronique qui est définie comme :

$$\rho \stackrel{\text{\tiny 2}}{\text{\tiny 2}} = \rho \stackrel{\text{\tiny 2}}{\text{\tiny 4}} \stackrel{\text{\tiny 2}}{\text{\tiny 4}} s_0, \stackrel{\text{\tiny 2}}{\text{\tiny 6}} s_0 \dots \stackrel{\text{\tiny 2}}{\text{\tiny 6}} s_0 \stackrel{\text{\tiny 2}}{\text{\tiny 2}} \stackrel{\text{\tiny 2}}{\text{\tiny 2}} 2 \stackrel{\text{\tiny 2}}{\text{\tiny 2}} 2 \stackrel{\text{\tiny 2}}{\text{\tiny 2}} \dots \stackrel{\text{\tiny 2}}{\text{\tiny 2}} 1 \stackrel{\text{\tiny 2}} 1 \stackrel{\text{\tiny 2}}{\text{\tiny 2}} 1 \stackrel{\text{\tiny$$

De cette manière, il leur a été possible de calculer l'énergie d'un atome, en utilisant cette fonctionnelle d'énergie cinétique combinée avec l'expression classique des interactions noyau-électron et électron-électron, qui peuvent eux aussi être exprimées en termes de densité électronique.

Le point faible de cette démarche réside, cependant, dans le fait que la précision obtenue est limitée parce que la fonctionnelle de l'énergie cinétique est approximée, mais aussi parce que cette méthode ne tient pas compte de l'énergie d'échange d'un atome, ni de la corrélation électronique¹¹.

.

¹⁰ Robert G. Parr et Weitao Yang, op.2012. Cit. 47

¹¹ P. A. M. Dirac, « *Note on exchange phenomena in the Thomas-Fermi atom* », dans *Proc. Cambridge Phil. Roy. Soc.*, vol. 26, 1930, p. 376-385.

Méthodes ab-initio

Click Here to upgrade to

la densité

Cette partie sera la reponse a notre deuxième question, à savoir, Qu'en-est-il de la D F T?

La siglaison D F T signifie : La théorie de la fonctionnelle de la densité qui sous-entend électronique. Et Comme presque toutes les théories se basent sur des modèles déjà conçus, la DFT trouve ses origines dans le modèle développé par Llewellyn Thomas et Enrico Fermi à la fin des années 1920, ensuite, grâce à Pierre Hohenberg, Walter Kohn et Lu Sham, le formalisme théorique mathématique sur lequel repose la DFT est établi vers le milieu des années 1960 et depuis le processus de l'évolution des approximations DFT est lancé.

Au début, la DFT a été principalement développée dans le cadre de la théorie quantique nonrelativiste (équation de Schrödinger indépendante du temps) et dans l'approximation de Born-Oppenheimer. La théorie fut par la suite étendue au domaine de la mécanique quantique dépendante du temps (on parle alors de TDDFT pour Time-Dependent Density Functional Theory) et au domaine relativiste.

Ainsi, la différence et la nouveauté apportées par la théorie de la fonctionnelle de la densité, est de substituer la densité électronique en tant que quantité de base pour les calculs à la fonction d'onde multiélectronique. Alors que cette dernière dépend de 3N variables (où N est le nombre total de particules du système), la densité est seulement fonction des trois variables ; il s'agit donc d'une quantité plus facile à traiter tant mathématiquement que conceptuellement. Le principe de la DFT consiste alors en une reformulation du problème quantique à N particules en un problème mono corps (ou, à la rigueur, bi-corps si l'on considère les problèmes de spin) avec pour paramètre la densité électronique ρ (Δ).

II.2.1. Les deux théorèmes de Hohenberg et Kohn

Le premier théorème de Hohenberg et Kohn stipule que toutes propriétés physique d'un système à N électrons soumis a l'effet d'un potentiel extérieur 22 statistique peut s'écrire, dans sont état fondamental, comme une fonctionnelle de la densité électronique $\rho(\mathbb{Z})^{12}$.

Ainsi, l'énergie totale de l'état fondamental s'écrit:

$$E = E[\rho (\mathbb{Z})] \tag{2.19}$$

¹² M. Lontsi Fomena, Thèse de doctorat, Université Bordeaux I, France, 2008, P. 78.

2.20

Unlimited Pages and Expanded Features

22p222: est la fonctionnelle d'énergie cinétique.

2 est la fonctionnelle d'énergie potentielle externe agissant sur les électrons.

The repulsion électron-électron, ce terme est luimême décomposé en deux fonctionnelles.

22ρ222est la fonctionnelle coulombienne des interactions classique électron-électron.

Le terme non classique est appelé énergie d'échange corrélation, il est la somme de deux fonctionnelles l'une d'échange $E_{\mathbb{Z}}$ $\mathbb{Z}_{\mathbb{Z}}$ et l'autre de corrélation $E_{\mathbb{Z}}$ $\mathbb{Z}_{\mathbb{Z}}$ $\mathbb{Z}_{\mathbb{Z}}$.

Ainsi, l'énergie totale de l'état fondamental peut se récrire sous la forme suivante :

$$E [\rho(\mathbf{Z})] = F_{22} [\rho(\mathbf{Z})] = F_{222} [\rho($$

Avec:
$$F_{22}$$
 2ρ 22ρ 22

 $F_{\ensuremath{\mathbb{Z}}\ensuremath{\mathbb{Z}}}$ l'all l'a fonctionnelle universelle de Hohenberg et Kohn.

Le second théorème se base sur l'introduction du principe variationnel sur l'énergie, ainsi «pour un potentiel extérieur donné et un nombre d'électrons fixé, l'état fondamental du système est le minimum global de la fonctionnelle E [$\rho(\mathbb{Z})$], et la densité qui minimise cette fonctionnelle est la densité du fondamental $\rho_{\mathbb{Z}}$ \mathbb{Z} .

¹³ E. Bourgeois, Thèse de doctorat, Université Claude Bernard-Lyon I, France, 2008, P. 15

_



n de l'équation de Schrödinger consiste à chercher la t la contrainte de conservation du nombre totale de

particule.

II.2.2. Approche de Kohn-sham

Grâce à l'approche de Kohn-Sham la théorie de Hohenberg et Kohn est transformée en une théorie exploitable d'un point de vue pratique, car Kohn-Sham ont développé un algorithme auto-cohérent SCF (Self Consistent Field), ce qui permet la résolution de l'équation de Schrödinger.

Cette approche est constituée de deux approximations :

La première approximation : consiste à remplacer le système d'électrons en interaction, impossible à résoudre analytiquement, par un système de fermions non interactifs et de même densité, ainsi les termes d'interaction sont repris comme des corrections aux autres termes. Alors, d'après le premier théorème de Hohenberg et Kohn, la fonctionnelle $E\left[\rho\left(\square\right)\right]$ du système s'écrira comme suit :

$$E \left[\rho \left(\mathbf{M} \right) \right] = F_{22} \left[2\rho \right] = \frac{2}{2} \left[2\rho \right] = \frac{2}{2}$$

La différence entre le système fictif non interactif et le système réel réactif est traduite par la fonctionnelle énergie d'échange-corrélation $E_{\mathbb{Z}^{\mathbb{Z}}}$

Unlimited Pages and Expanded Features

 $\boxed{2.30}$

La deuxième approximation : c'est une formulation de l'énergie cinétique en utilisant une approche orbitalaire, ainsi la forme exacte de l'énergie cinétique pour le système non interactif est donnée comme suit :

Les $|\mathbb{Z}_{\mathbb{Z}}|$ sont les spin-orbital, et $\mathbb{Z}_{\mathbb{Z}}$ le nombre d'occupation respective, comme dans notre cas le système est dépourvu de toute interaction alors $\mathbb{Z}_{\mathbb{Z}}$ \mathbb{Z} 1 pour les \mathbb{N} orbital et $\mathbb{Z}_{\mathbb{Z}}$ \mathbb{Z} 0 pour le reste conformément au principe de Pauli.

II.2.3. Equation de Kohn-Sham:

Dans le formalisme de kohn-Sham l'équation fondamentale de la dynamique s'exprime en appliquant le principe variationnelle de Hohenberg et Kohn.

Cette équation est identique à celle des théorèmes de Hohenberg et Kohn à la différence que, le système considéré dans le cadre de l'approche de Kohn-Sham est non interactif se déplaçant dans un potentiel effectif [2] [2] [2].

L'intérêt de la reformulation introduite par Kohn-Sham réside dans le fait que l'on peut, à travers elle, définir des équations mono électronique dite Kohn-Sham qui, contrairement à l'équation de schrodinger, peuvent être résolues analytiquement.

Sham se fait de façon auto-coherente, car le terme as connu de manière explicite, ce qui nous contraint à

effectuer des approximations.

II.2.4. L'approximation LDA

C'est la première approximation, elle est dite locale (LDA ou LSDA si on tient compte du spin). Elle considère le système d'électrons comme un gaz d'électrons localement uniforme, en d'autre terme elle s'appuie sur les deux hypothèses suivantes¹⁴:

1- les effets d'échange-corrélation sont dominés par la densité située au point 🗵.

2- la densité ρ 2 varie lentement vis-à-vis de .

Même si la LDA fonctionne relativement bien dans le cadre des métaux pour les quels la densité est fortement uniforme, elle échoue, en revanche, dans les systèmes caractérisés par des densités électroniques variant fortement vis-à-vis de .

En effet la LDA sous estime l'énergie d'échange den virent 10% et surestime l'énergie de corrélation d'un facteur proche de 100%, aussi elle surestime l'énergie de liaison et prédit les longueurs de liaison à l'équilibre plus courte que celle déterminées expérimentalement¹⁵.

Aprés la LDA, d'autres approximations viennent dans le but d'améliorer les résultats obtenus, comme les fonctionnelle GGA, Meta GGA et Hybrid. Dans le présent travaille, nous avons utilisé la fonctionnelle GGA.

II.2.5. L'approximation GGA

La densité électronique d'un système électronique est non seulement pas uniforme, mais peut même varier très rapidement dans l'espace (lorsqu'on passe d'une couche électronique à une autre dans un atome, ou lorsque l'on passe d'un atome à un autre dans une molécule). La GGA est la première correction apportée à la LDA, elle consiste alors à exprimer la fonctionnelle d'énergie d'échange-corrélation en fonction de la densité électronique et de son gradient.

¹⁵ E. Megchiche, Thèse de doctorat, Université de Toulouse, France, 2007, P. 25.

¹⁴ R. Arras, Thèse de doctorat, Université de Toulouse, France, 2008, P. 38.

Unlimited Pages and Expanded Features

(2.35)

Le potentiel \mathbb{Z}_{22} peut s'écrire en fonction d'énergie d'échange $\mathbb{Z}_{2}^{2/2/2}$ et de correlation $\mathbb{Z}_{2}^{2/2/2}$ d'un gaz d'électrons uniforme auxquels sont ajoutés les termes correctif¹⁶.

?

Comme attendu, l'approximation GGA donne des résultats meilleurs pour des matériaux présentant des variations spatiales de la densité; c'est notamment le cas des oxydes de métaux de transition qui possèdent des électrons très localisés.

II.3. Résolution numérique des équations de Kohn-Sham

Pour résoudre numériquement les équations de Kohn-Sham, il est nécessaire de décrire et d'exprimer les fonctions d'ondes mono-électronique omme une combinaison linéaire d'un nombre fini de fonction de base¹⁷, nos deux alliages sont des systèmes périodique alors le théorème de Bloch permet de décrire toute fonction d'onde comme le produit d'une onde plane de vecteur d'onde (Evecteur de la première zone de Brillouin) et d'une fonction radiale or avant la périodicité du système.

En effet, le code de calcul Quantum Espresso que nous allons utiliser se base sur la méthode (c'est-à-dire, la base de fonctions mono électronique utilisée pour résoudre les équations de Kohn-Sham) des ondes planes, cette dernière utilise la fonction de Block, et elle est constituée d'un groupe de méthode comme la méthode des ondes planes orthogonalisées (OPW) et celle des ondes planes augmentées (APW).

¹⁶ E. Lontsi Fomena, Thèse de doctorat, Université de Bordeaux 1, France, 2007, P. 25.

¹⁷ J. Ali, Thèse de doctorat, Université de Strasbourg, France, 2010, P. 37.

Click Here to upgrade to Unlimited Pages and Evpanded Features

Introduite par Slater, dont le but de restreindre le nombre de fonctions de bases pour décrire la fonction d'onde typique du solide, la méthode APW repose sur le fait qu'au voisinage d'un noyau atomique le potentiel et les fonctions d'ondes sont de la forme «muffintin» (présente une symétrie sphérique) ,ainsi que sur le fait, qu'entre les atomes, le potentiel et les fonctions d'ondes peuvent êtres comme étant lissent, il est donc possible et juste de séparer l'espace physique en deux zone, la première caractérisée par les sphères «muffin-tin» ou il y a beaucoup d'électrons dans un faible volume, la deuxième est la région interstitielle dont la densité électronique est faible. Alors, les fonctions d'ondes du cristal vont êtres développées dans deux bases différentes suivant la région considérées :

- ➤ A l'intérieur de la sphère de rayon non a une base constituée par une combinaison linéaire des fonctions radiales multipliées par des harmoniques sphériques.
- Des ondes planes dans la région interstitielle.

Ainsi, on peut construire une fonction d'onde totale continue en tout point, sauf que pour décrire les électrons de cœur et suivre les fortes oscillations de leur fonction d'onde cela sollicite une base très étendue.

II.3.2. Le Pseudopotentiel

Au fur et à mesure que le système à traiter contient un grand nombre d'électron, par exemple les métaux de transition, qui se caractérisent par une localisation des orbitales d, le calcul numérique sur l'état fondamental électronique du système rencontre des problèmes technique, et il devient très lent, pour surmonter ces problèmes, l'approximation du pseudopotenteil permet de développer les fonctions d'onde électronique sur un nombre réduit d'ondes planes en remplaçant le potentiel ionique, fortement interagissant à cause des noyaux et des électrons de cœur rigidement lies, par un potentiel effectif décrivant l'interaction des électrons de valence avec l'ensemble (noyau et électrons de cœur) légèrement interagissant . Ainsi, l'énergie totale du système peut être calculée en résolvant les équations de Kohn-Sham pour les seuls électrons de valences¹⁸.

¹⁸ F. Saad, Mémoire de Magister, Université de Mouloud Mammeri, Tizi-Ouzou, Algérie, 2009. P. 18.

Méthodes ab-initio

Unlimited Pages and Expanded Features

La difference des structures electronique des systèmes conduit a la construction de plusieurs types de pseudopotenteil. Dans certains cas il arrive de construire des pseudo-orbitales avec une variation plus faible que celle de l'orbital réelle, et cela entraine une perte d'efficacité de ces pseudo-potentiel. pour remédier à ce problème, Vanderbilt a développer des pseudo-potentiel dit ultrasoft (que nous utiliserons pour notre calcul),ou le concept de conservation de la norme n'est pas respecté, et les pseudo-fonctions d'onde sont les plus douce possible dans la régions du cœur ,ce qui nous permet de réduire la taille des bases d'ondes planes ,en outre ,les pseudo-potentiel ultrasoft sont impliqué dans le processus auto-cohérent. Cependant la densité électronique est déficitaire dans la région du cœur, mais le problème est désormais contourné en modifiant la condition d'orthogonalité des fonctions d'onde.

II.4. Equation de la DFT perturbée

Si les atomes se mettent en mouvement sous l'action d'une perturbation le potentiel auto-cohérant déterminé auparavant se modifie, ce qui nous donne :

En linéarisant l'équation
$$2222 \sum_{i} 222^{2}$$
 (2.38)

On obtient
$$\delta \rho$$
 2 4 $R_{\mathbb{Z}} \sum_{\mathbb{Z}} \Psi_{\mathbb{Z}}^{\mathbb{Z}} \Psi_{\mathbb{Z}}^{\mathbb{Z}} \Psi_{\mathbb{Z}}^{\mathbb{Z}}$ (2.39)

On détermine la variation de orbitales de Kohn-Sham en utilisant la théorie des perturbations à l'ordre un.

🛮 🗷 est le hamiltonien de Kohn-Sham non perturbé.

δ 🖫 est la correction au premier ordre du potentiel de Kohn-Sham :

$$\delta \ 2_{222} \ 2 \ \delta ? \ 2_{222} \ 2 \ d? + \frac{22_{22} 2}{22_{22}} d? + \frac{22_{22} 2}{22_{22}} \delta \rho 2$$

Unlimited Pages and Expanded Features

premier ordre des niveaux de Kohn-Sham.

L'équation (2.39) se réécrit sous la forme d'une somme sur tout le spectre du hamiltonien non perturbé.

L'indice c correspond aux états vides alors que l'indice v fait référence aux états occupés. Les équations (2.41) et (2.42) forment un ensemble auto-cohérent venant compléter les équations de Kohn-Sham pour le système non perturbé.

Le calcul direct de $\delta\rho$ Propose cette méthode n'est cependant peu applicable car il nécessite de sommer sur une infinité d'états électroniques. Baroni, Giannozzi et Testa^{19 20} ont proposé une méthode permettant de contourner ce problème, conduisant à la théorie de la fonctionnelle de la densité perturbée (DFPT) : si le calcul explicite de $\delta\rho$ requiert une connaissance de toutes les valeurs propres du hamiltonien, la réponse à une perturbation extérieure ne dépend que de la composante de la perturbation couplant un état occupé avec un état vide. On peut dès lors écrire le terme de droite de l'équation (2.40) de la manière suivante:

$$2 2 \delta 2_{222} 2$$

où 🖻 est le projecteur sur les états de conduction. Cette procédure permet de réécrire l'équation (2.42)

$$\delta \rho \mathbb{Z} \mathbb{Z} ? 4 \sum_{\mathbb{Z}} \mathbb{Z}_{\mathbb{Z}} \mathbb{Z}_{\mathbb{Z}} \mathbb{Z}_{\mathbb{Z}}$$
 (2.44)

On peut résoudre numériquement l'équation (2.43) en utilisant les mêmes techniques itératives que pour déterminer l'état fondamental du système

_

¹⁹ S. Baroni, P. Giannozzi et A. Testa, Phys. Rev. Lett. 1987. 58(18).

²⁰ S. Baroni, S. de Gironcoli, A. Dal Corso et P. Giannozzi, Reviews of Modern Physics, 2001. 73(2)

ction générale

Inlimited Pages and Expanded Features

Depuis léexistence de léhomme sur terre, il ne cesse de travailler, de chercher, afin de faciliter et déaméliorer les conditions de son quotidien, devant la montée démographique dans le monde entier et léincapacité de la nature à répondre aux besoins ainsi quéaux exigences de léhumanité, la recherche de nouveaux matériaux aux propriétés physiques et/ou chimiques spécifiques est déun enjeu majeur pour léindustrie actuelle, et ce quelque soit les domaines déapplication (micro-électronique, énergie,í etc.); pour cela les chimistes et les physiciens seattachent à léélaboration de nouvelles techniques et à la perfection des méthodes de modélisation dont léobjectif est de faire adapter ce que la nature a à donner pour notre société déaujourdéhui.

Dans le cadre de ce travail de mémoire de master, notre étude a porté sur le calcul des courbes de dispersion des phonons, en structure $L1_0$, des deux alliages fer-platine (FePt) et cobalt-platine (CoPt). Le calcul a été mené en utilisant la simulation ab-initio (ab-initio est un terme latin qui signifie, à partir du début) à l α ide du code Quantum Espresso. Par ailleurs, notre choix de ce sujet est motivé par deux facteurs essentiels :

Le premier concerne notre sélection pour le FePt et le CoPt, en effet ces deux alliages présentent des caractéristiques très sollicitées, en exemples de leur forte résistance à løoxydation et à la corrosion, il est aussi à noter que la phase L1₀ de FePt et CoPt possède une prépondérante anisotropie magnéto-cristalline ce qui leur donne une place privilégiée dans la fabrication des supports pour løenregistrement magnétique, en outre, ces deux structures sont stables et facilement obtenues après traitement thermique døune solution solide équimolaire en fer (ou cobalt) et platine.

Le second consiste en notre choix pour le calcul des courbes de dispersion des phonons, le phénomène de vibration a toujours suscité la tentions des physiciens cela est dû a lømpacte quøil a sur løensemble des caractéristique du système, et aussi sur sa stabilité, donc à travers ce calcul, on peut déterminer et avoir une idée sur certaines gradeurs physique comme, par exemple, la chaleur spécifique et la conductivité thermique.

Pour mener à bien la présentation de notre mémoire, nous avons réparti le travail en trois chapitre.

Unlimited Pages and Expanded Features

é à la description des configurations ordonnées des ésentation des trois variantes des la phase L1₀, ensuite

nous allons procéder à la formulation de la dynamique vibrationnelle par les deux approche classique et quantique.

Le deuxième chapitre a pour objectif la présentation du cadre théorique des calculs abinitio, basé sur la théorie de la fonctionnelle de la densité, et mis en ò uvre par le code de calcul Qantum Espresso.

Tous les résultats de nos calculs seront regroupés dans le troisième et dernier chapitre, ceux correspondant à løénergie minimale de la structure $L1_0$ et nécessaire à la paramétrisation seront exposés en premier, tel que la taille de la supercellule, løénergie de coupure, et le maillage de la zone de Brillouin, ensuite, nous allons calculé la fréquence propre de vibration pour différentes valeurs du vecteur døonde 🏻 appartenant à la zone de Brillouin, à la fin on tracera les courbe de dispersion des phonons pour les cinq directions de plus haute symétrie (20012, 2002201221012102et en dernier la direction 2112).

.



Chapitre II

Méthodes ab initio



Conclusion générale



Introduction



Your complimentary use period has ended.
Thank you for using PDF Complete.

Click Here to upgrade to
Unlimited Pages and Expanded Features

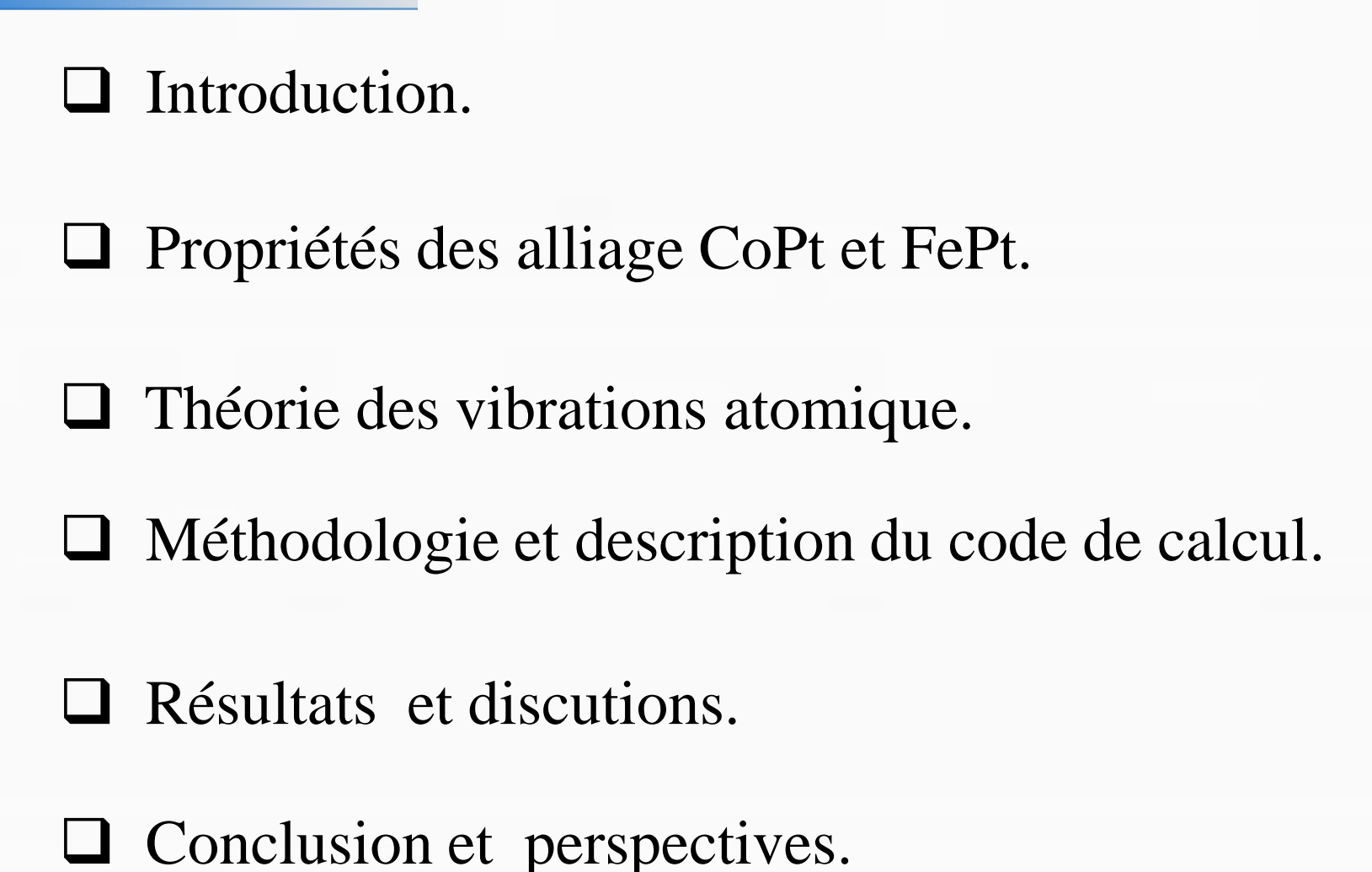
seignement Supérieur et de la Recherche Scientifique versité Mouloud Mammeri de Tizi-Ouzou



LPCQ

Calcul des courbes de dispersion de phonons dans les alliages FePt et CoPt de structure L 10

PLAN



La recherche de nouveau matériaux aux propriétés physique ou/et chimique spécifique est un enjeu majeur pour løindustrie actuelle, pour cela, les chimistes et les physiciens søattachent à løélaboration de nouvelles techniques et à la perfection des méthodes de modélisation.

Les calculs ont été conduit en utilisant le code Quantum Espresso.

>motivations :

"choix de FePt et CoPt.

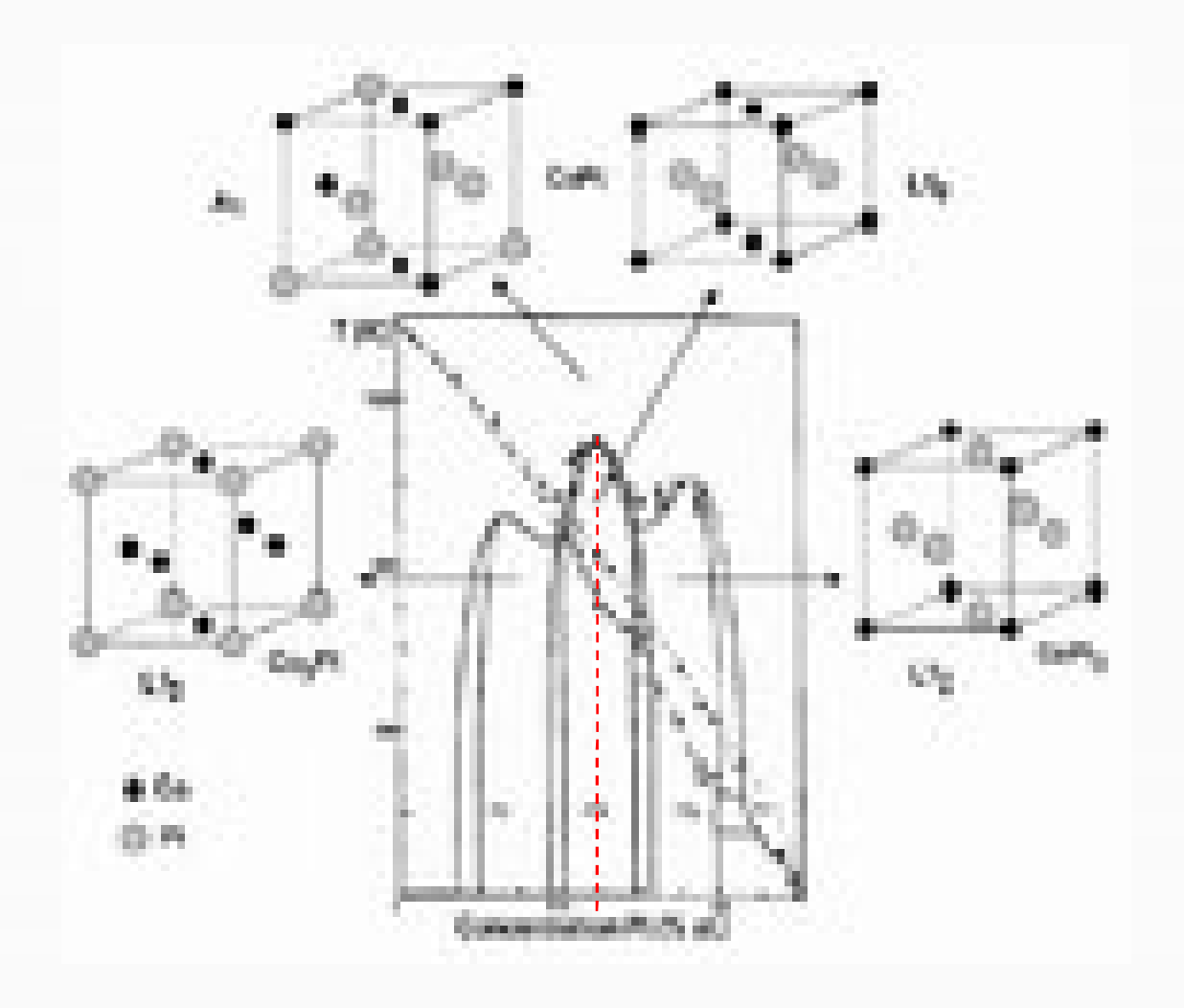
"calcul des courbes de dispersion de phonons.



Unlimited Pages and Expanded Features

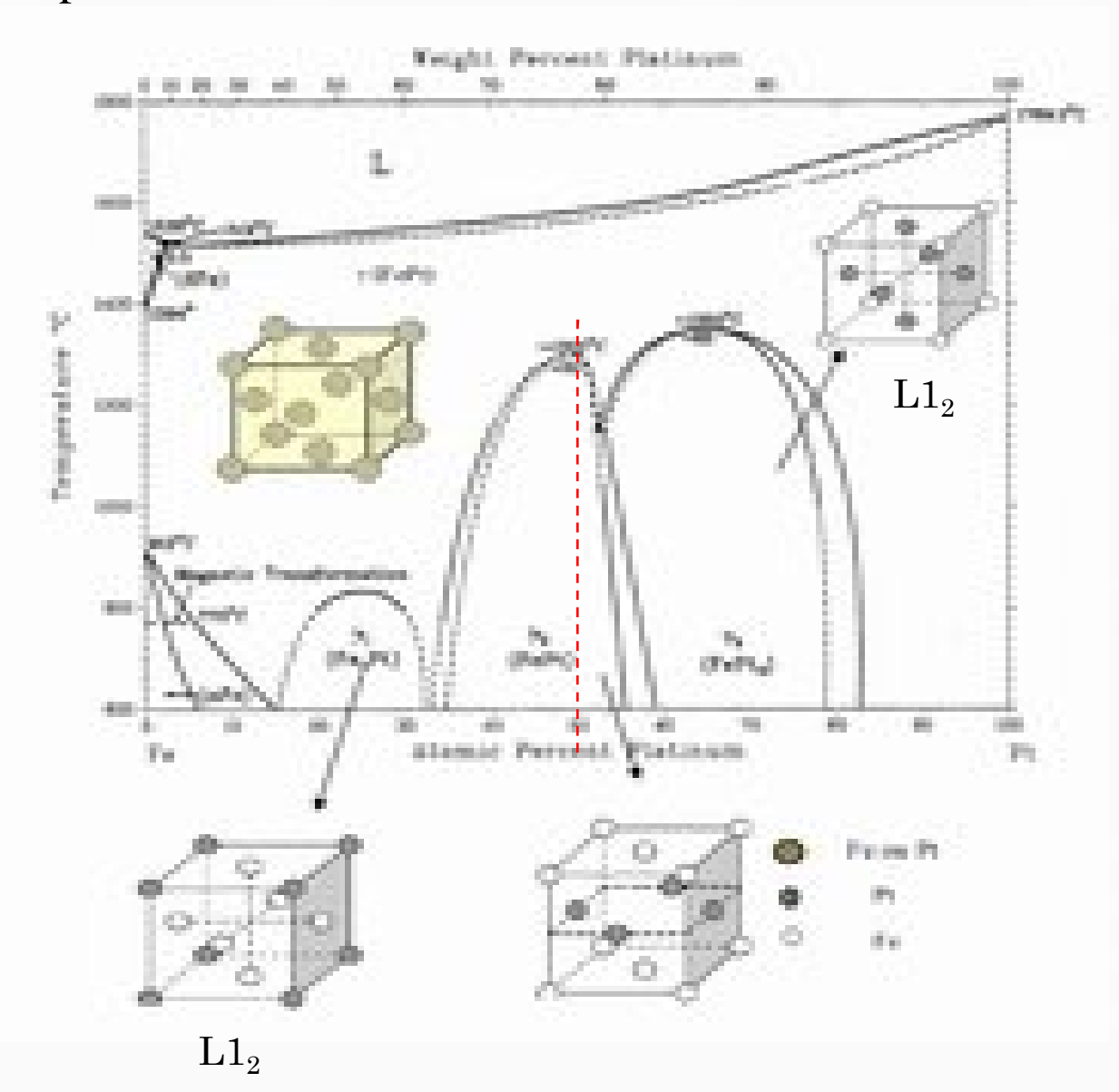
Troprieces ar liages CoPt et FePt

➤ Diagramme de phases CoPt :



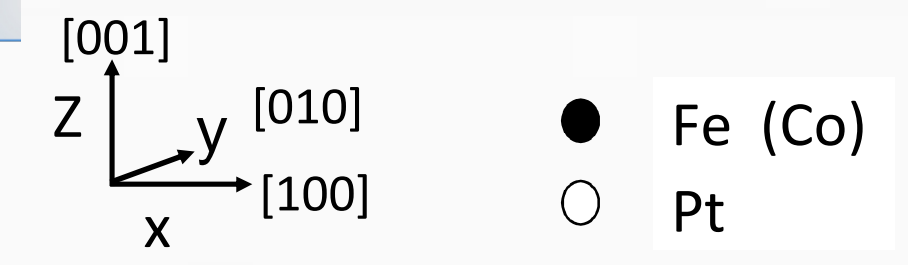
Click Here to upgrade to Unlimited Pages and Expanded Features

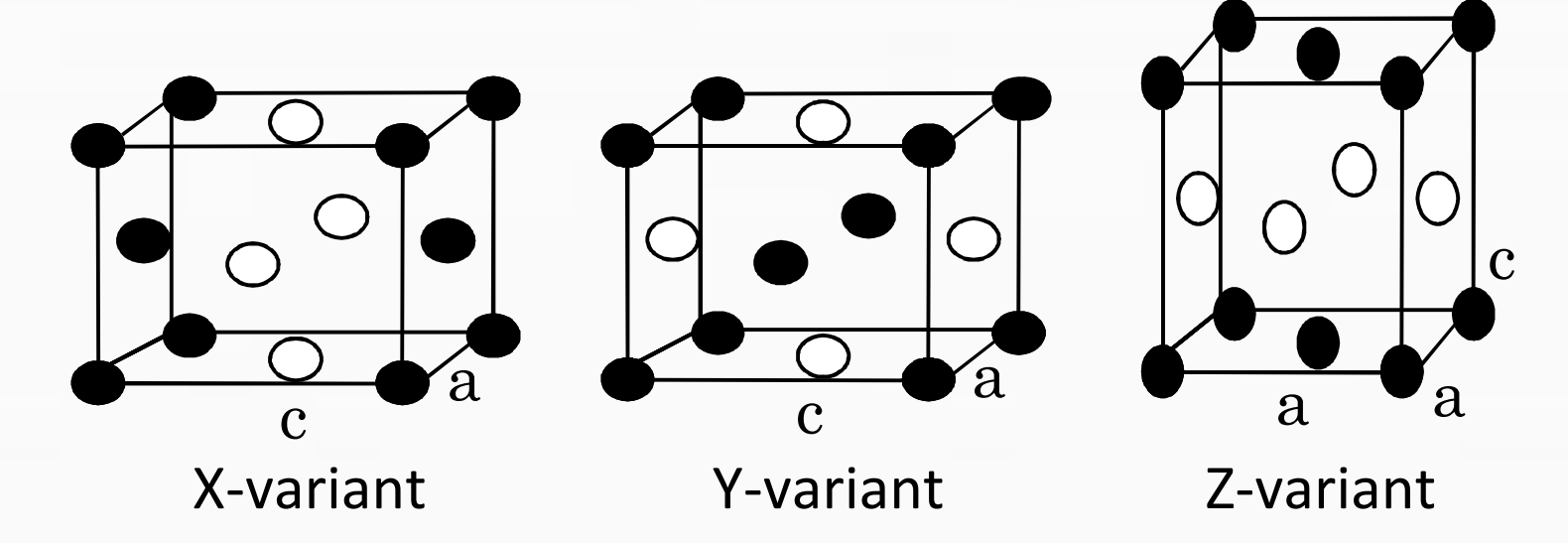
্য FePt:





Click Here to upgrade to
Unlimited Pages and Expanded Features





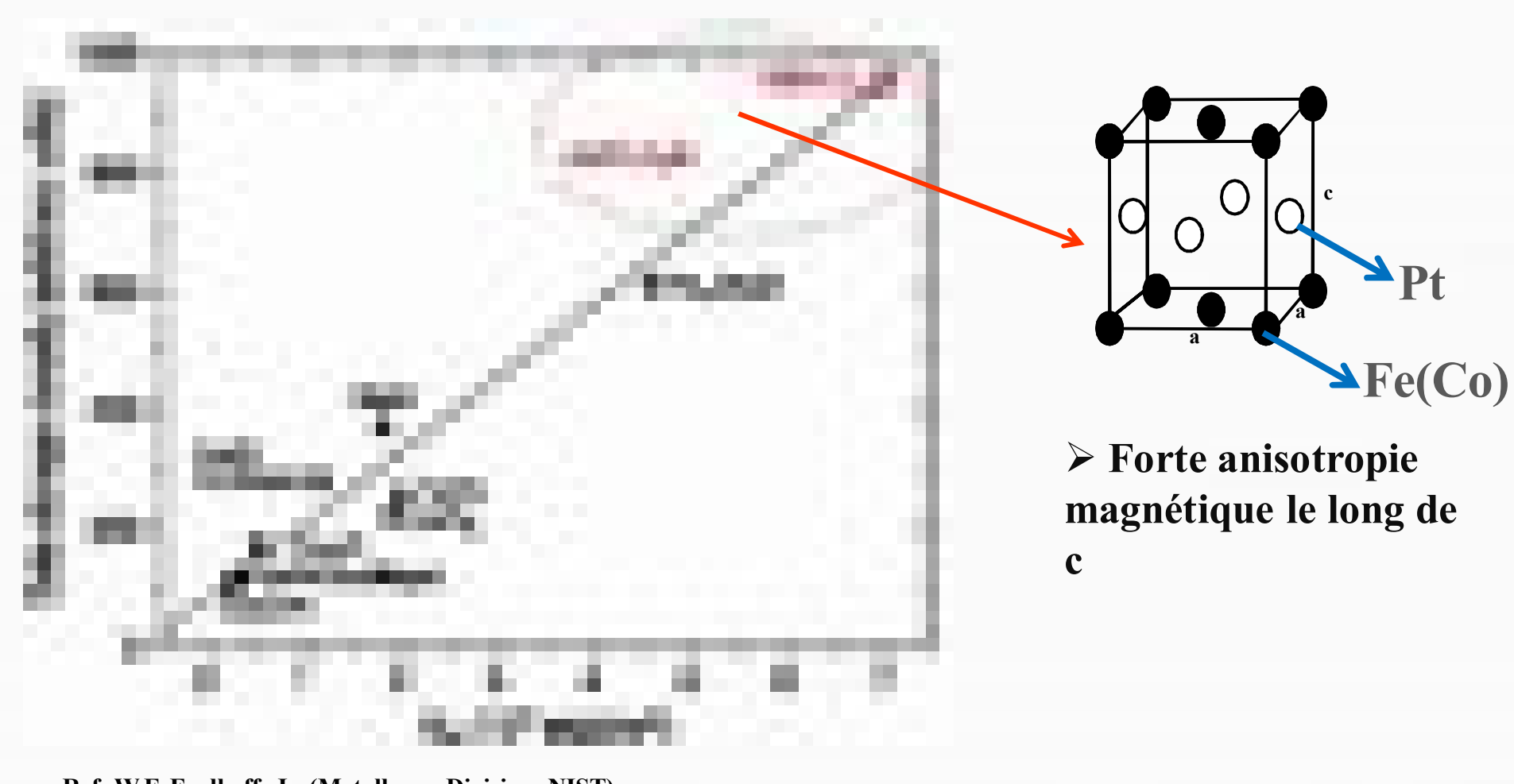
les trois variantes de la phase L1₀



Click Here to upgrade to Unlimited Pages and Exp

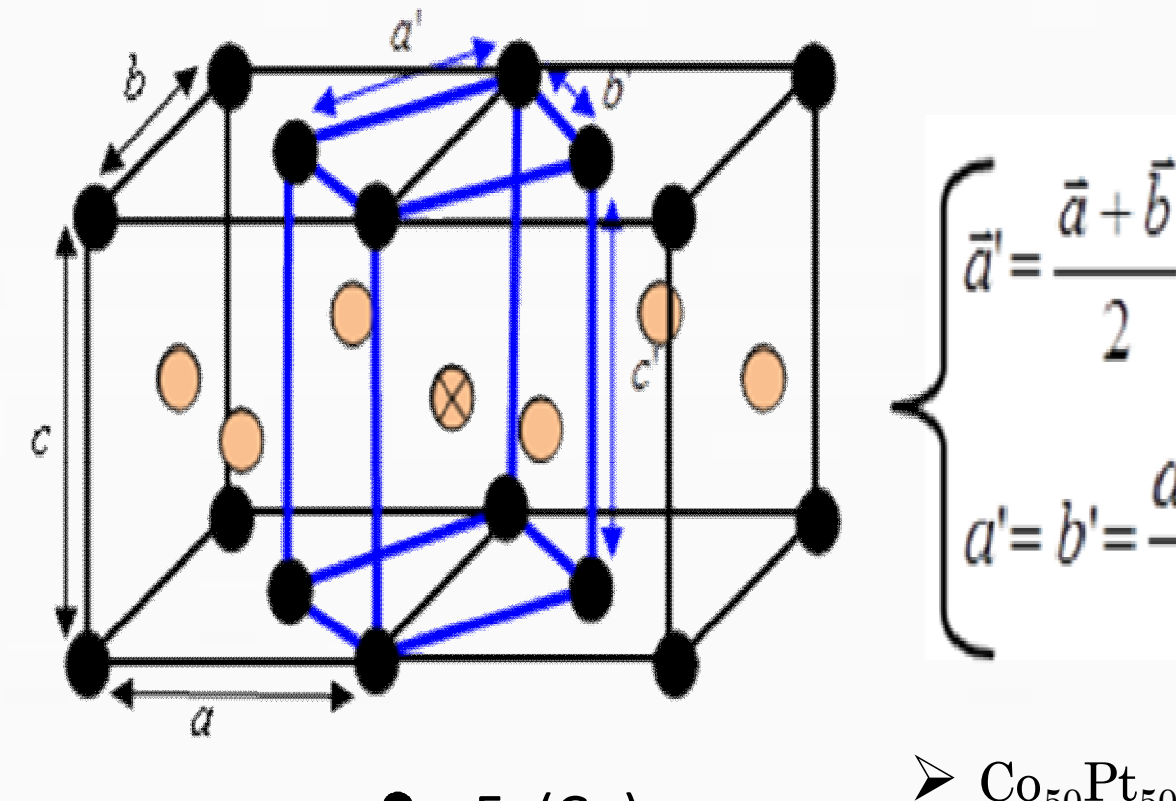
istrement en fonction de

l'énergie d'anisotropie magnétocristalline.



Ref: W.F. Egelhoff, Jr. (Metallurgy Division, NIST);

E.B. Svedberg (Seagate Research, Pittsburgh)



$$\int \vec{a}' = \frac{\vec{a} + \vec{b}}{2}, \quad \vec{b}' = \frac{\vec{a} - \vec{b}}{2}, \quad \vec{c}' = \vec{c}$$

$$a'=b'=\frac{a\sqrt{2}}{2} , \quad c'=c$$

$$\triangleright$$
 Fe₅₀

$$ightharpoonup$$
 Co₅₀Pt₅₀ \longrightarrow a=3.8 Å, c=3.7 Å

$$ightharpoonup Fe_{50}Pt_{50} \longrightarrow a=3.85 \text{ Å, c}=3.71 \text{ Å}$$

Maille parente tétragonale à faces centrées (noir) et maille primitive quadratique (bleu)

Click Here to upgrade to Unlimited Pages and Expanded Feature

Théorie des vibrations atomiques Approche classique :

Le déplacement instantané dans la direction de l'atome κ appartenant à la maille α est noté par $\overrightarrow{u}_{\alpha,\kappa,\gamma}$.

Energie potentielle:

$$\Phi \left(u_{\alpha,\kappa,\gamma} \right) = \Phi_0 + \sum_{\alpha,\kappa,\gamma} \frac{\partial \phi \left(u_{\alpha,\kappa,\gamma} \right)}{\partial u_{\alpha,\kappa,\gamma}} \bigg|_{u_{\alpha,\kappa,\gamma}=0} u_{\alpha,\kappa,\gamma} \\
+ \frac{1}{2} \sum_{\alpha,\kappa,\gamma} \frac{\partial^2 \phi \left(u_{\alpha,\kappa,\gamma} \right)}{\partial u_{\alpha,\kappa,\gamma} \partial u_{\alpha',\kappa',\gamma'}} \bigg|_{u_{\alpha,\kappa,\gamma}=0} u_{\alpha,\kappa,\gamma} u_{\alpha',\kappa',\gamma'} + \dots \tag{1}$$



Click Here to upgrade to
Unlimited Pages and Expanded Features

La lorce sœxerçant sur loatome (,), dans la direction est donnée sous la forme suivante :

$$\vec{F}_{u_{\alpha,\kappa,\gamma}} = M_{\kappa} \ddot{u}_{\alpha,\kappa,\gamma} = -\sum_{\alpha : \kappa : \gamma} \left. \frac{\partial^2 \phi(u_{\alpha : \kappa : \gamma} \cdot)}{\partial u_{\alpha,\kappa,\gamma} \partial u_{\alpha : \kappa : \gamma}} \right|_{u_{\alpha,\kappa,\gamma} = 0} u_{\alpha : \kappa : \gamma}. \tag{2}$$

N cellules unités, n atomes par cellule unité simplification périodicité spatiale du cristal.

On pose:
$$W_{\alpha,\kappa,\gamma} = \sqrt{M_{\kappa}} u_{\alpha,\kappa,\gamma}$$
 (3)

A partir des équations (2) et (3) on détermine :

$$\ddot{W}_{\alpha,\kappa,\gamma} = \sum_{\alpha',\kappa',\gamma} \cdot \mathcal{D}_{\alpha,\kappa,\gamma}^{\alpha',\kappa',\gamma'} w_{\alpha',\kappa',\gamma'} \cdot (4)$$

Slick Here to upgrade to Unlimited Pages and Expanded Features

La relation de dispersion est:

$$w^{2}(\vec{q})e_{\gamma,\kappa}(\vec{q}) = \sum_{\gamma \mid \kappa} \cdot C(\vec{q})_{\kappa,\gamma}^{\kappa \mid \gamma} e_{\kappa \mid \gamma} \cdot (\vec{q})$$
 (5)

Avec:
$$\mathcal{C}(\vec{q})_{\gamma,\kappa}^{\gamma',\kappa'} = \sum_{\alpha} \mathcal{D}_{\alpha,\kappa,\gamma}^{\alpha',\kappa',\gamma'}(\vec{R}_{\alpha}) \exp i(\vec{q}\vec{R}_{\alpha})$$
 (6)

En appliquant les conditions cyclique de Born-Von Karman, on voit que pour une zone de Brillouin de longueur $\frac{2\pi}{L}$ correspond N points 2 permis.

Approche quantique:

Les nN noyaux du cristal ont un hamiltonien de la forme suivante :

$$II = \sum_{\alpha, \kappa, \gamma} \frac{p_{\alpha, \kappa, \gamma}^2}{2M_{\kappa}} + \frac{1}{2} \sum_{\alpha, \kappa, \gamma} \frac{\partial^2 \phi(u_{\alpha, \kappa, \gamma})}{\partial u_{\alpha, \kappa, \gamma} \partial u_{\alpha', \kappa', \gamma}} \Big|_{u_{\alpha, \kappa, \gamma} = 0} u_{\alpha, \kappa, \gamma} u_{\alpha', \kappa', \gamma} \cdot (7)$$

Après une transformation linéaire des opérateurs de quantité de mouvement $\vec{P}_{\alpha,\kappa}$, et des opérateurs de position $\vec{u}_{\alpha,\kappa}$

Click Here to upgrade to Unlimited Pages and Expanded Features

La somme de 3nN hamiltonien døscillateurs harmonique.

$$H = \sum_{j,\vec{q}} \frac{h}{2\pi} w(j,\vec{q}) \left(b_{j,\vec{q}}^{+} b_{j,\vec{q}} + \frac{1}{2} \right)$$
 (8)

Les valeurs propres de (8) sont de la forme suivante :

$$E = \sum_{j,\vec{q}} (n_{j,\vec{q}} + \frac{1}{2}) \frac{h}{2\pi} w(j,\vec{q})$$
 (9)

Comme, $n_{j,\vec{q}}$ appartient à lænsemble des entiers naturels, les énergies des noyaux sont égales à la suite de $\frac{h}{2\pi}w(j,\vec{q})$

technique du pseudopotentiel.

Méthodologie et description du codeí

Méthodologie et description du code de calcul

Le code Quantum Espresso est conçu par la collaboration de plusieurs institutions sous lánitiative DEMOCRITOS National Simulation Centre of INFM. Ce code met en ò uvre diverses méthodes et algorithmes; il utilise, une base dáonde plane, et la

Le code Quantum Espresso est basé sur la méthode DFT.

Click Here to upgrade to Unlimited Pages and Expanded Feature

consistant-field)

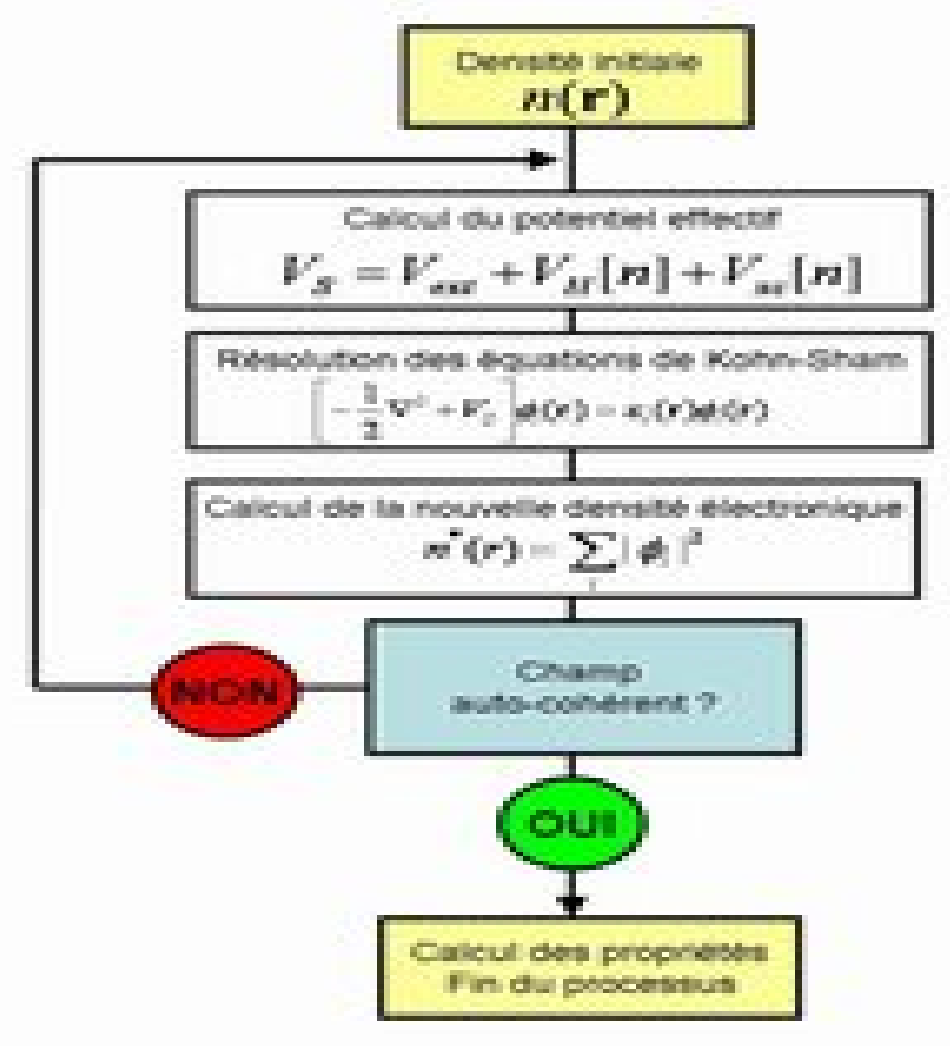


Schéma de la résolution auto -cohérente

nited Pages and Expanded Features

resultate et discutions

✓ Taille de la supercecllule.

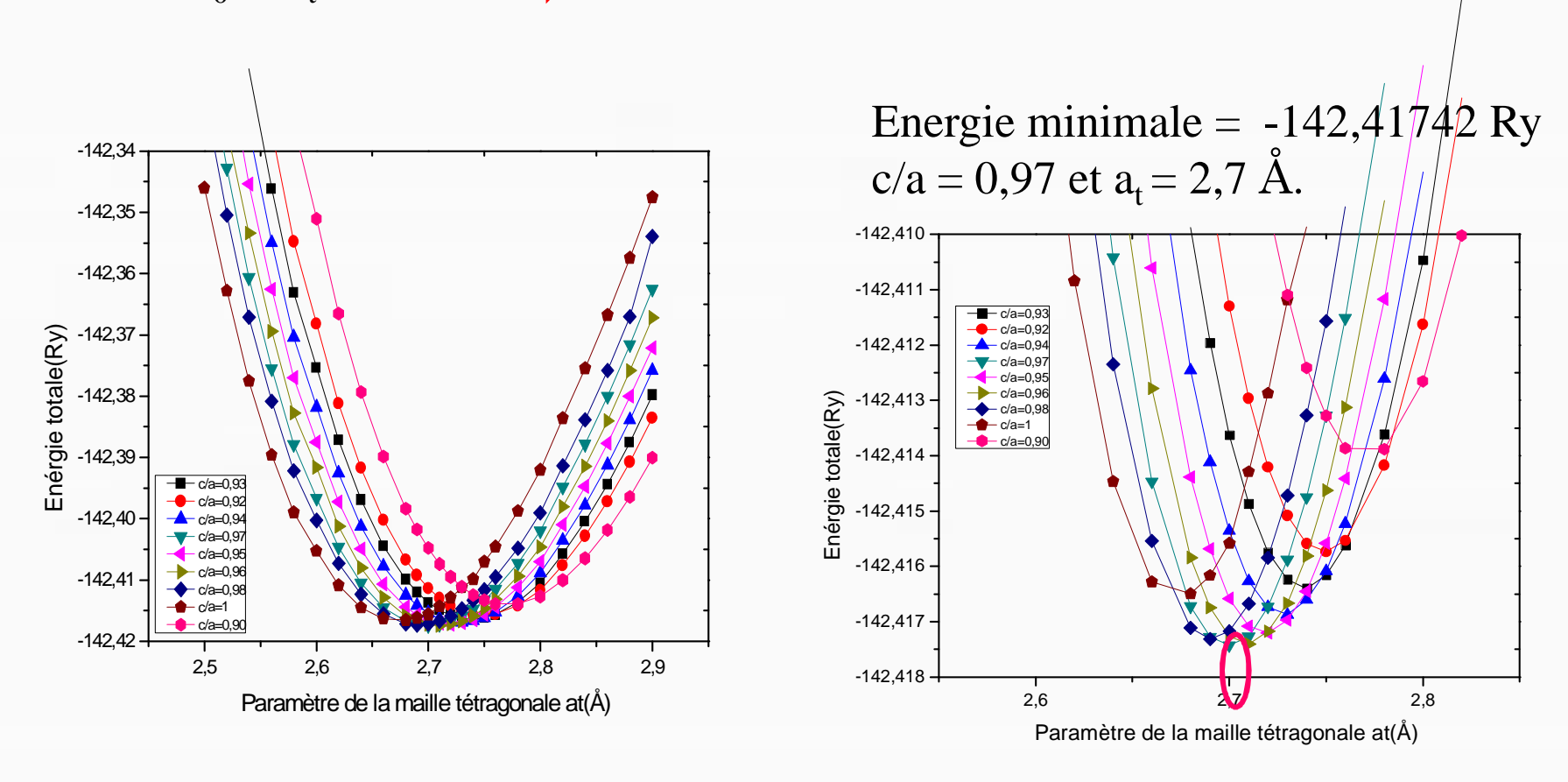
✓ Energie de coupure.

✓ Maillage aux points k.

Click Here to upgrade to
Unlimited Pages and Expanded Features

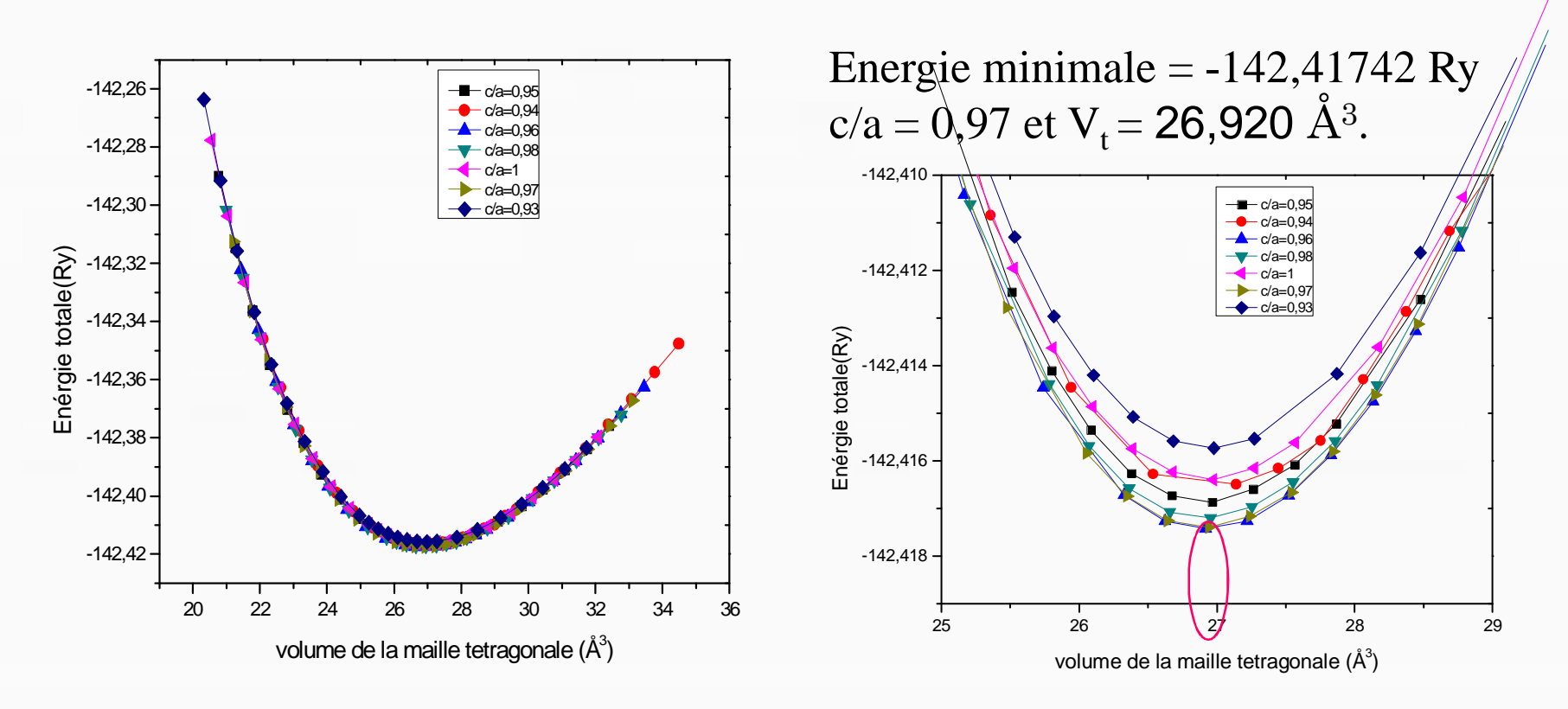
ıle:

FePt L1₀ a_t 2,5 Å \longrightarrow 2,9 Å en fonction de c/a.



Variation de l'énergie de la structure $L1_0$ (FePt) en fonction de a_t pour les différentes valeurs de c/a .

\H Tracé du graphe de l'énergie totale de la phase $L1_0$ en fonction du volume



Variation de l'énergie de la structure tétragonale de l'alliage FePt En fonction du volume pour différents rapport c/a.

représente le minimum de løénergie totale pour différentes

valeurs de c/a.

a _t (Å)	a(Å)	c(Å)	c/a	v(ų)	E _t (Ry)
2,7	3,80	3,69	0,97	26,920	-142,41742
2,71	3,82	3,66	0,96	26,940	-142,41739
2,69	3,79	3,71	0,98	26,896	-142,41731
2,72	3,83	3,64	0,95	26,955	-142,41720
2,73	3,84	3,61	0,94	26,967	-142,41687
2,68	3,77	3,77	1	27,140	-142,41649
2,74	3,86	3,59	0,93	26,974	-142,41639
2,75	3,87	3,56	0,92	26,977	-142,41573
2,78	3,91	3,52	0,9	27,264	-142,41388

Les énergies minimale pour les différents rapports c/a,

Click Here to upgrade to Unlimited Pages and Expanded Feature

Les résultats obtenus pour la structure L1₀ de løalliage CoPt.

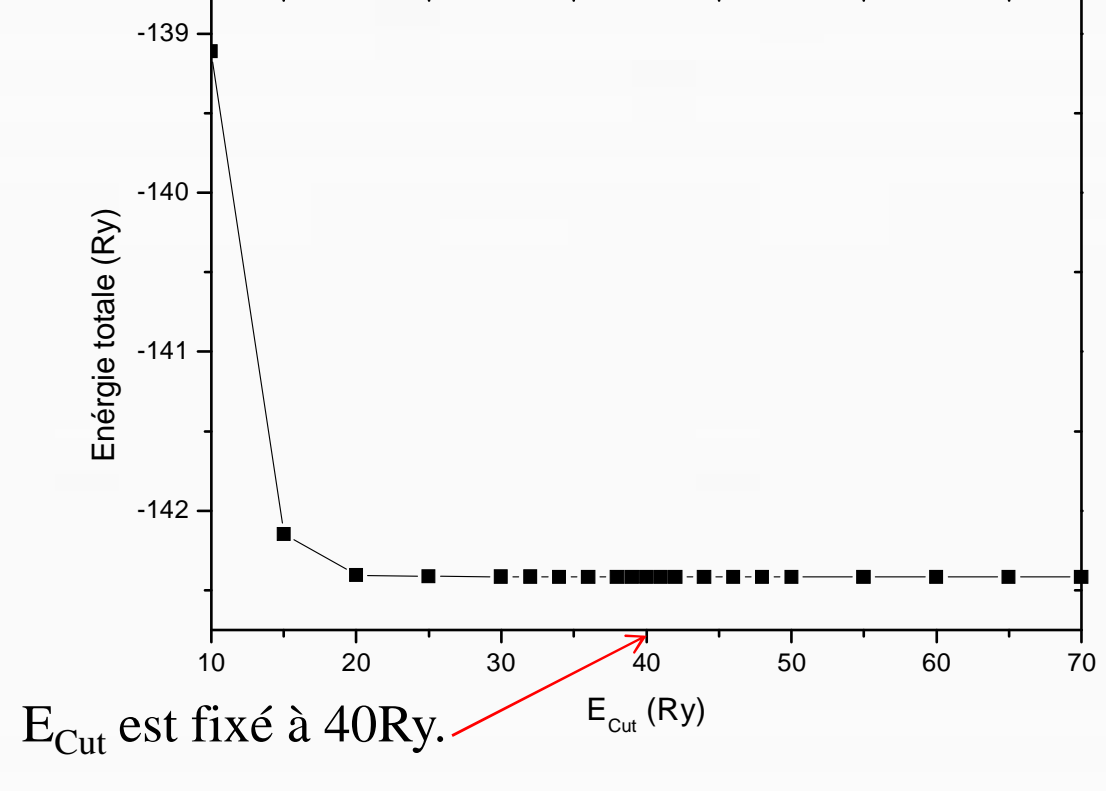
c/a	0,90	0,93	0,95	0,97	0,98
a _t (Å)	2,751	2,722	2,702	2,687	2,673
a(Å)	3,890	3,849	3,829	3,799	3,780
c(Å)	3,501	3,579	3,637	3,685	3,704
Et(Ry)	-161,0228	-161,0243	-161,0246	-161,0244	-161,0241

Les énergies totale du système CoPt pour différents rapports c/a.

Click Here to upgrade to
Unlimited Pages and Expanded Features

coupure (E_{Cut})

Recherche de la stabilité de løénergie totale en variant E_{Cut} de 10Ry à 100Ry:

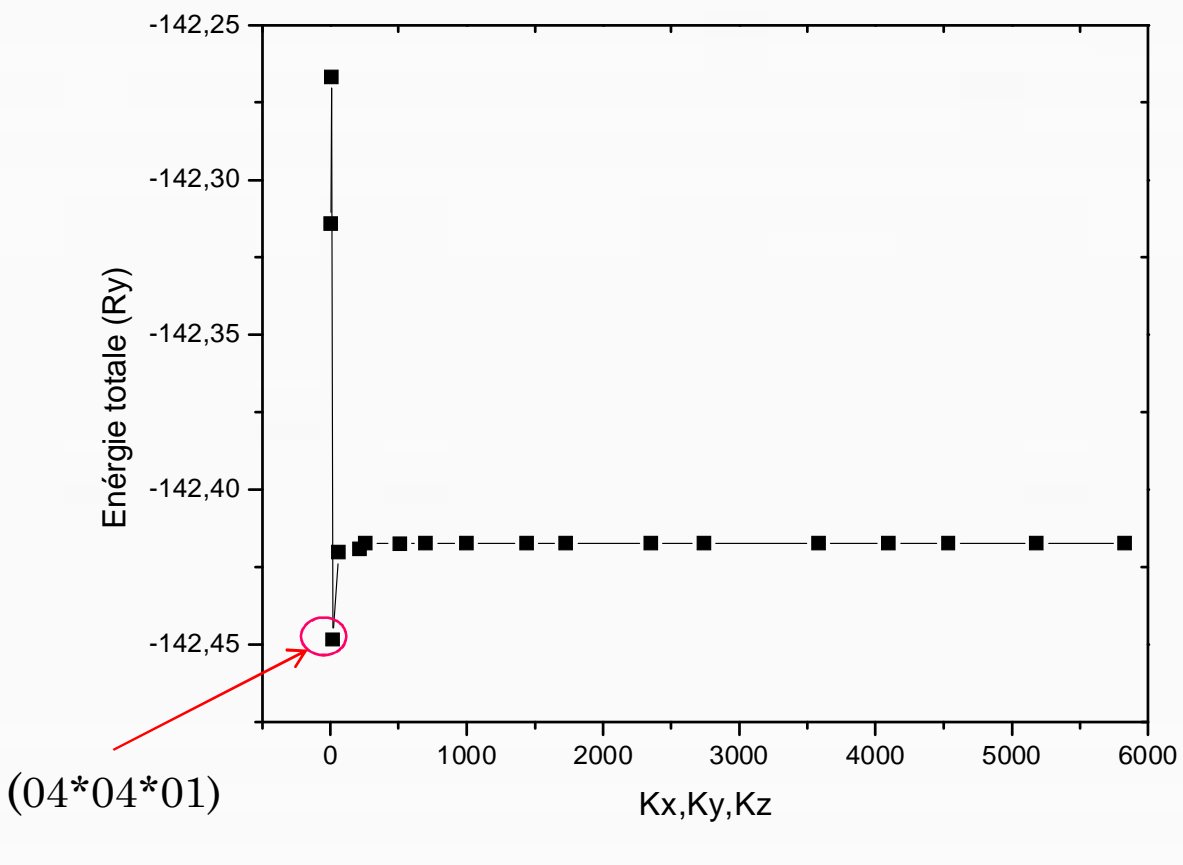


Variation de l'énergie totale du système FePt L1₀ en fonction de l'énergie de coupure.

Click Here to upgrade to Inlimited Pages and Expanded Features

ie totale du système FePt en fonction du nombre de points k

 $(k_x^*k_y^*k_z)$ varie de (02*02*01) jusqu'à (18*18*18).



L'énergie se stabilise à partir de la configuration (10*10*7).

Evolution de l'énergie totale du système FePt en fonction du nombre de points k.

Click Here to upgrade to Unlimited Pages and Expanded Feature

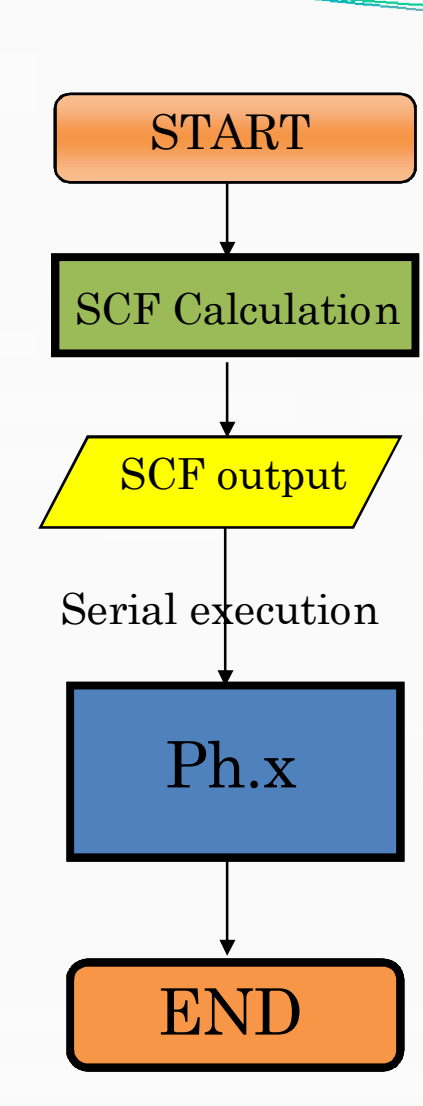
Les resultats outenus pour les deux alliage

		FePt	CoPt
Taille de la	a _t (Å)	2,7	2,708
supercellue	c(Å)	3,69279	3,6382
	v(ų)	26,919	26,679
Énergie de coupure (Ry)		40	35
Maillage aux points k		14*14*11	14*14*11
Energie minimale		-142,41742	-161,0246

Les trois paramètres nécessaires à la résolution des équations de Kohn-Sham, ainsi que pour le calcul des courbes de dispersion des phonons.

S

Click Here to upgrade to Unlimited Pages and Expanded Features

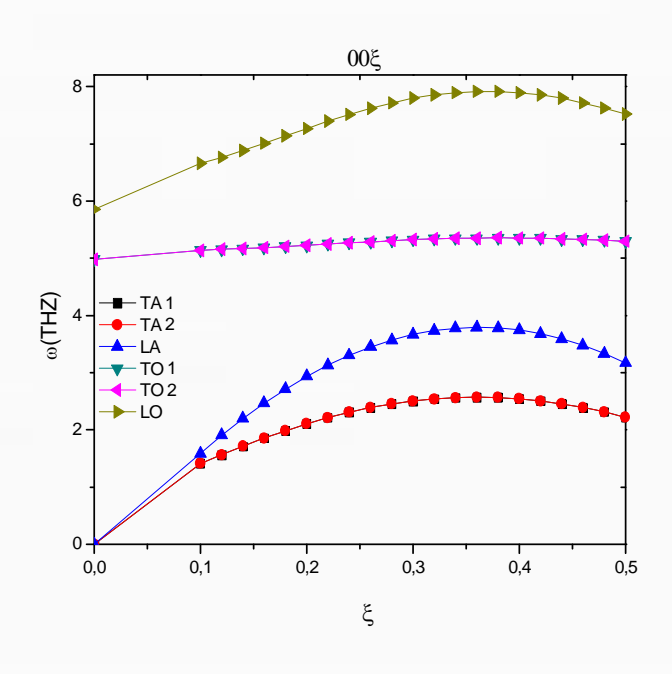


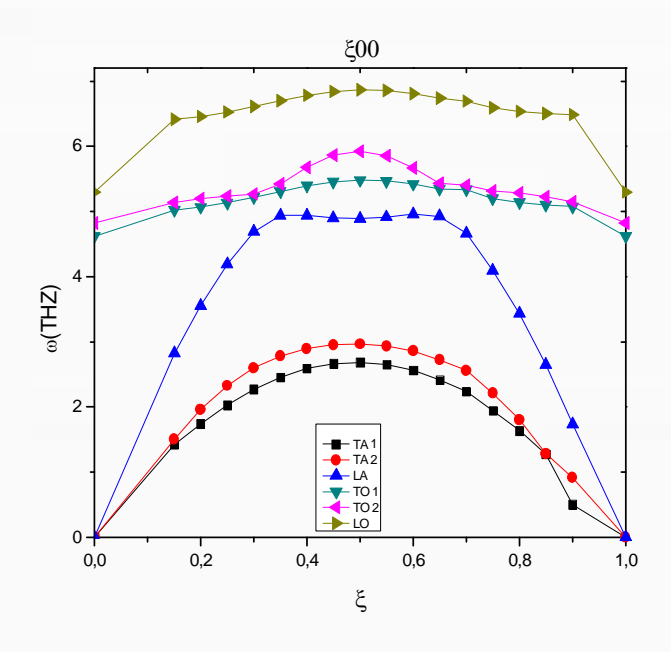
Organigramme décrivant le calcul de phonons

llick Here to upgrade to Inlimited Pages and Expanded Features

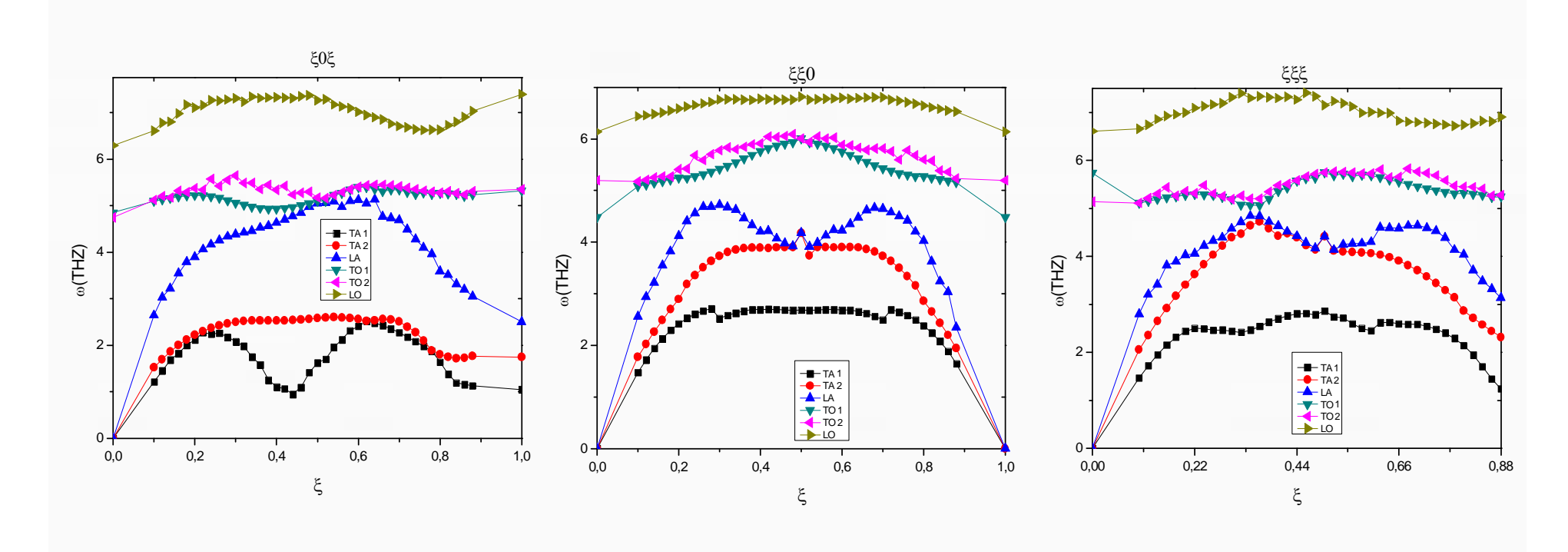
honons

Courbes de dispersion dans les directions de haute symétrie ($[00\xi]$ et $[\xi00]$) dans FePt



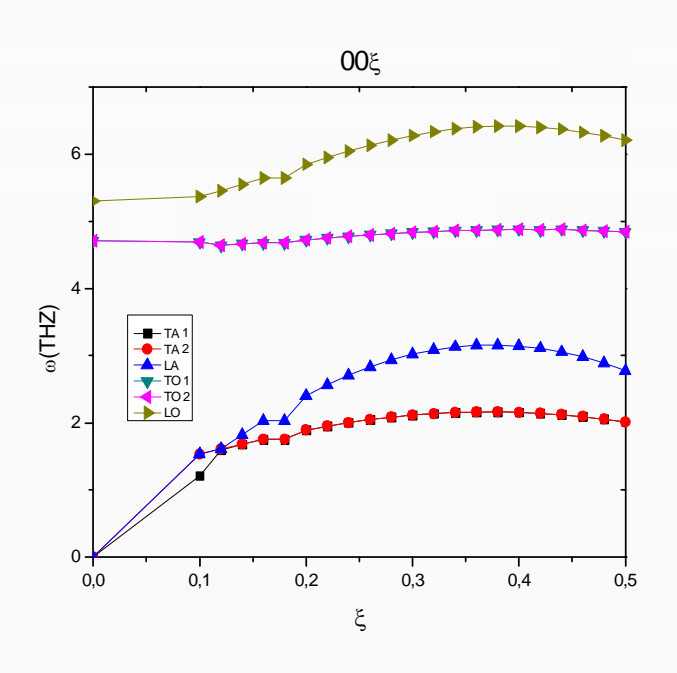


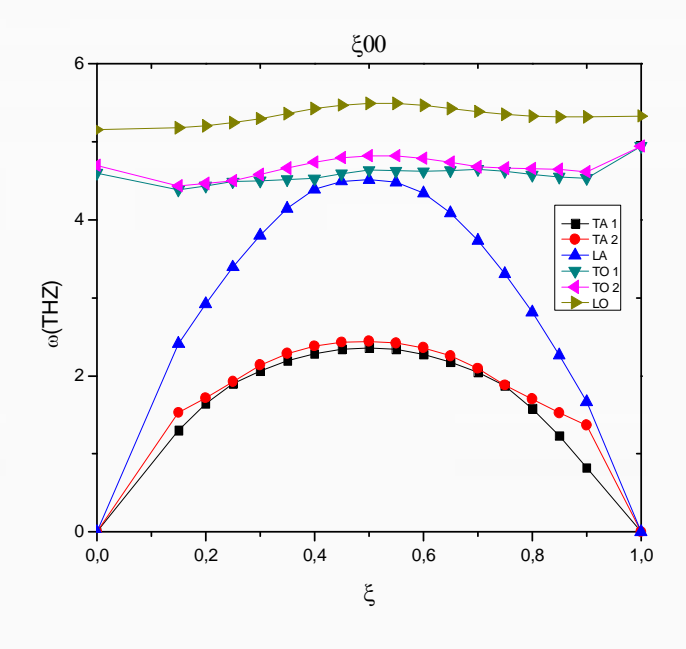
Courbes de dispersion dans les directions de haute symétrie ($[\xi 0\xi]$, $[\xi\xi 0]$ et [ξξξ]) dans FePt



Click Here to upgrade to Unlimited Pages and Expand

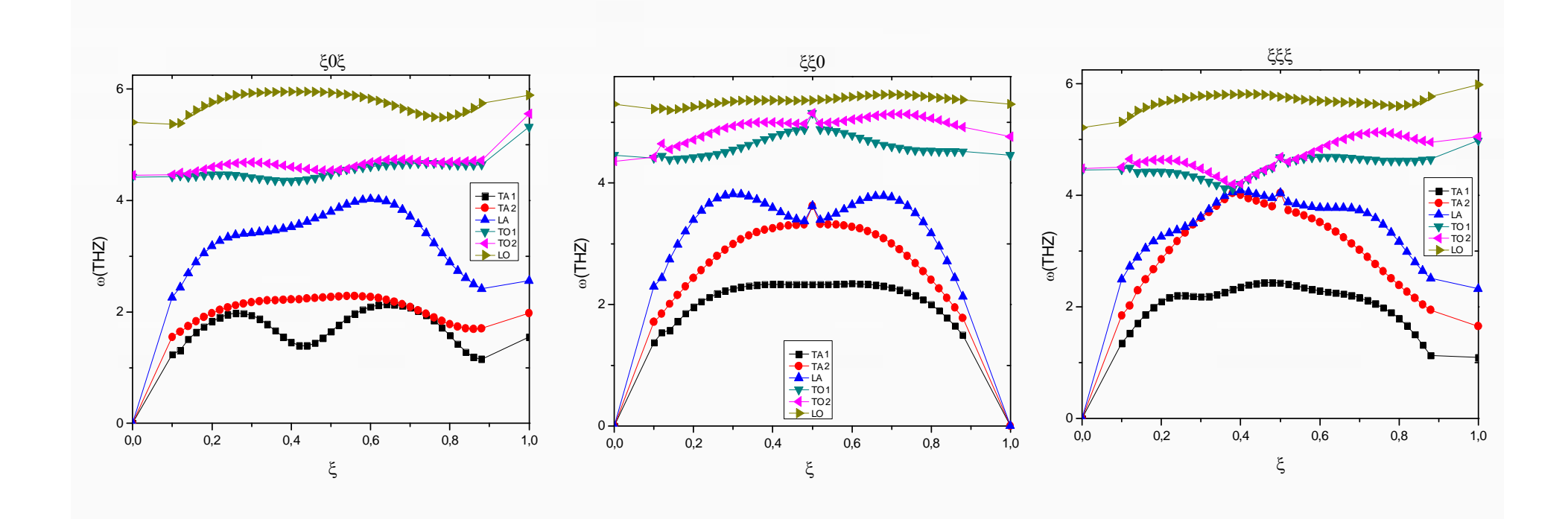
Courbes de dispersion dans les directions de haute symétrie ([00ξ] et [ξ00]) dans CoPt





Click Here to upgrade to Unlimited Pages and Expanded Features

Courbes de dispersion dans les directions de haute symétrie ([$\xi 0\xi$], [$\xi\xi 0$] et [$\xi\xi\xi$]) dans CoPt



Conclusion et perspectives

Click Here to upgrade to Unlimited Pages and Expanded Features

tio nous avons déterminé:

- \circ La taille de la supercellule (a_t=2,7Å, c = 3,692Å pour le FePt, et a_t=2,708 Å, c = 3,638 Å pour le CoPt)
- Energie de coupure : FePt (E_{cut}=40Ry) , CoPt (E_{cut}=35Ry)
- O Maillage aux points k: 14*14*11
- Le spectres de dispersion des phonons composé de 3 branches acoustique et 3 autres optique.

Comme perspectives:

- > Détermination des grandeurs thermodynamique et élastique.
- > effet de la surface sur la dynamique vibrationnelle des systèmes FePt, CoPt.
- > interaction phonons électrons

Merci de votre attention



Your complimentary use period has ended. Thank you for using PDF Complete.

Click Here to upgrade to Unlimited Pages and Expanded Features

Merci de votre attention

Click here to upgrade to Unlimited Pages and Expanded Features

Frences bibliographiques

- [1] Y. Dahmane, Thèse de doctorat, Université Josèphe Forier Grenoble, p. 17
- [2] J. M. Sanchez, J. L. Moran-Lopez, C. Leroux, et M. C. Cadeville, J. Phys: Condens. Matter 1, 491 (1989).
- [3] T. Massalsky (Eds.), Binary Alloy Phase Diagrams, 2nd Edition, ASM International, Materials Park, OH, 1996.
- [4] P. Fredriksson, Doctoral dissertation, Royal Institute of Technologie, Stockholm (2003).
- [5] A. Cebollada, R. F. C. Farrow et M. T. Toney, Magnetic Nanostructures, Ed. H. S. Nalwa (2002)
- [6] R. Chadli, Thèse de doctorat, Université de Mouloud Mammeri, Tizi- Ouzou, Algérie, 2012, P. 35.
- [7] J. D. Patterson and B. C. Bailey, Solid-state physic: Introduction to the theory, Elsevier Springer- Verlag Berlin Heidelberg (2007).
- [8] P. Ghosez et J. Raty, cours de physique des matériaux, Université de Liège, France, 2007-2008, P. 6.
- [9]P. Chaquin LCT UPMC Pratique de la Chimie Théorique. P. 01.
- [10] Robert G. Parr et Weitao Yang, op. cit, 47
- [11] P.A.M. Dirac, « Note on exchange phenomena in the Thomas-Fermi atom », dans Proc. Cambridge Phil. Roy. Soc., vol. 26, **1930**, p. 376-385
- [12] M. Lontsi Fomena, Thèse de doctorat, Université Borbeaux 1, France, 2008, P. 78.
- [13] E. Bourgeois, Thèse de doctorat, Université Claude Bernard-Lyon I, France, 2008, P. 15.
- [14] R. Arras, Thèse de doctorat, Université de Toulouse, France, 2008, P. 38.
- [15] E. Megchiche, Thèse de doctorat, Université de Toulouse, France, 2007, P. 25.
- [16] E. Lontsi Fomena, Thèse de doctorat, Université de Bordeaux 1, France, 2007, P. 25.
- [17] J. Ali, Thèse de doctorat, Université de Strasbourg, France, 2010, P. 37.
- [18] F. Saad, Mémoire de Magister, Université de Mouloud Mammeri, Tizi-Ouzou, Algérie, 2009. P.18.
- [19] S. Baroni, P. Giannozzi et A. Testa, Phys. Rev. Lett. 1987. 58(18).
- [20] S. Baroni, S. de Gironcoli, A. Dal Corso et P. Giannozzi, Reviews of Modern Physics, 2001. 73(2)
- [21] A. Sediri. Mémoire de master, Université de Mouloud Mammeri, Tizi-Ouzou, Algérie, 2011.

Click Here to upgrade to
Unlimited Pages and Expanded Features

niversité de Mouloud Mammeri, Tizi-Ouzou, Algérie,

- [23] A. Dannenberg, Markus E. Gruner, A. Hucht, P. Arxiv: 0909. 0420v2 [Cond –mat.mtrsci], (2009).
- [24] J. Souhabi, Thèse de doctorat, Université de Metz, France, 2010, P.33.
- [25] L. Messad, Thèse de doctorat, Université de Mouloud Mammeri, Tizi-Ouzou, Algérie, 2009.



Références bibliographiques



Unlimited Pages and Expanded Features

Résumé

Noure travan de memoire de 1m déétude porte sur le calcul des courbes de dispersion de phonons dans les alliages FePt, CoPt de structure L1₀. Le calcul a été conduit en utilisant la simulation ab-initio à léaide du code Quantum Espresso. Nous avons déterminé les trois paramètres caractérisant la stabilité de la structure L1₀ pour léalliage FePt (la taille de la supercellule, léénergie de coupure et le maillage aux point k) en utilisant la théorie de la fonctionnelle de la densité (DFT). Cette investigation néa pas concerné léalliage CoPt car les résultats existent déjà, et ils ont été calculés avec le même code. Les valeurs obtenues sont en bon accords avec les résultats expérimentaux et ceux calculés par déautres méthodes théoriques. Léutilisation de la théorie de la fonctionnelle de la densité perturbée (DFTP) nous a permis de calculer les courbes de dispersion dans les cinq directions de plus hautes symétries: [001], [100], [101], [110] et [111]. Aucune bande interdite entre les modes acoustiques et optique néa été observée, malgré léapparition de hautes fréquences.